

ΦΑΣΜΑΤΟΣΚΟΠΙΑ ΠΟΛΥΓ ΥΨΗΛΗΣ ΔΙΑΚΡΙΤΙΚΗΣ ΙΚΑΝΟΤΗΤΟΣ ΔΙΑ ΤΟΥ ΛΑΖΕΡ

‘Υπό

ΜΑΡΙΑΣ ΜΑΡΚΕΤΟΥ ΠΥΛΑΡΙΝΟΥ

‘Ομοτίμου καθηγητρίας της Φυσικομαθηματικής Σχολής
του ’Αριστοτελείου Πανεπιστημίου Θεσσαλονίκης

ΕΙΣΑΓΩΓΗ

‘Η δύτική φασματοσκοπία άποτελεῖ πολύτιμον μέθοδον έρευνης δι’ δλας τάς θετικάς έπιστημας. Είς τὴν Φυσικὴν εἰδικῶς σημαντικὸν μέρος τῶν γνώσεων μας περὶ τῆς δομῆς τοῦ ἀτόμου καὶ τοῦ μορίου ἀπεκτήθη διὰ τῆς δύτικῆς φασματοσκοπικῆς ἔρευνης. ‘Η πρώτη ἱκανοποιητική ἀτομικὴ θεωρία (ἡ τοῦ Bohr) διεμορφώθη ἡδη διὰ τῆς προσπαθείας ἐρμηνείας τῶν πρώτων ληφθέντων γραμμωτῶν δύτικῶν φασμάτων, ἔξειλίχθη δὲ βαθμιδῶν εἰς τὴν σημερινὴν κραντομηχανικὴν εἰκόνα διὰ τῆς θεωρητικῆς διερευνήσεως νεωτέρων καὶ ἀκριβεστέρων φασματικῶν δεδομένων, προϊόντων σημαντικῆς βελτιώσεως τῶν πειραματικῶν μέσων ἔρευνης. Καθ’ δσον δὲ ἡ ἔρευνα προχωρεῖ καθίσταται περισσότερον ἐπιτακτικὴ ἢ ἀνάγκη τῆς περαιτέρω βελτιώσεως τῶν πειραματικῶν διατάξεων τῆς δύτικῆς φασματοσκοπίας.

Τεράστιαι βελτιώσεις, χάρις εἰς τὰς δύοις ἢ δύτικὴ φασματοσκοπία φθάνει τὴν εύαισθησίαν καὶ τὴν ἀκρίβειαν τῆς φασματοσκοπίας μικροχυμάτων, ἐπῆλθον διὰ τοῦ λάζερ τοῦ ὄποιου ἡ ἐφαρμογὴ εἰς τὴν φασματοσκοπικὴν ἔρευναν ἥρχισεν εὐθὺς μετὰ τὴν ἐμφάνισίν του (1960), ἀλλ’ αἱ ἔξαιρετικῶς ταχεῖαι δι’ αὐτοῦ πρόδοι χρονολογοῦνται ἀπὸ τοῦ ἔτους 1970 με τὴν κατασκευὴν τῶν λάζερ ρυθμιζομένης συχνότητος. ‘Η ἐπίδρασις τοῦ λάζερ εἰς τὴν φασματοσκοπικὴν ἔρευναν ὑπῆρξε τόσον σημαντικὴ καὶ ραγδαία ὡστε χαρακτηρίζεται ὡς ἐπανάστασις εἰς τὴν φασματοσκοπίαν, ἐπανάστασις εὑρείας ἐπιπτώσεως, ἔκτεινομένη εἰς δλα τὰ φυσικὰ μεγέθη τὰ συνδεόμενα μὲ τὰ δύτικὰ φάσματα.

Πλῆθος ἐπιστημόνων εἰς πολλὰ ἔργαστήρια ἀσχολοῦνται σήμερον μὲ τὴν φασματοσκοπίαν διὰ λάζερ. Εἰς συχνοτάτας δημοσιεύσεις καὶ ἀνακοινώνωσεις εἰς λίαν συχνὰ διεθνῆ συνέδρια ἐκτίθενται ἔκαστοτε νέα σημαντικάτατα ἀποτελέσματα.

Βασικαὶ ἀπαιτήσεις διὰ φασματοσκοπικὰς ἐρεύνας ὑψηλῆς ἀκριβείας εἰναι:

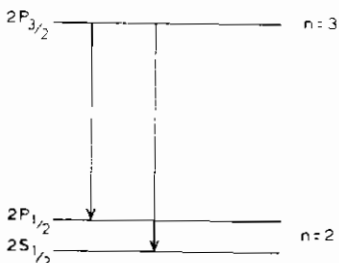
1. Φασματοσκοπικαὶ διατάξεις μεγάλης διακριτικῆς ἵκανότητος, ἵκαναν νὰ ἔπιπτουν τὸν διαχωρισμὸν τῶν λεπτῶν καὶ ὑπερλεπτῶν συνιστωσῶν τῶν διὰ κοινοῦ φασματοσκοπίου λαμβανομένων φασματικῶν γραμμῶν, ἢ μελέτη τῶν δποίων παρέχει στοιχεῖα περὶ τῆς λεπτῆς δομῆς τῶν κβαντικῶν σταθμῶν ἐνεργείας τῶν ἀτόμων ἢ μορίων ἐκ τῶν δποίων προέρχονται.

2. Ἡ ἀκριβὴς μέτρησις τῆς συχνότητος τῶν γραμμῶν καὶ

3. Ἰσχυραὶ πηγαὶ ἐκπομπῆς διὰ τὰς περιπτώσεις πολὺ ἀσθενῶν γραμμῶν.

Ἡ διακριτικὴ ἵκανότης τῶν δργάνων συμβολῆς καὶ περιθλάσσεως, τὰ δποῖα ἔχρησιμοποιοῦντο εἰς τὴν φασματοσκοπικὴν ἔρευναν τοῦ ὄρατοῦ καὶ τοῦ ὑπερύθρου πρὸ τῆς ἐμφανίσεως τοῦ λάζερ καὶ αἱ κλασσικαὶ μέθοδοι προσδιορισμοῦ τῆς συχνότητος τῶν φασματικῶν γραμμῶν ἐκ τῶν μετρουμένων μηκῶν κύματος, ἥσαν πλέον ἡ ἵκανοποιητικαὶ, δεδομένου δτι οὐσιῶδες ἐμπόδιον εἰς τὴν διάκρισιν λίαν γειτονικῶν γραμμῶν εἰς τὰς περιοχὰς αὐτὰς τοῦ ἡλεκτρομαγνητικοῦ φάσματος καὶ εἰς τὸν ἀκριβῆ προσδιορισμὸν τῆς συχνότητός των, προέβαλλε τὸ μέγα, συνήθως, πλάτος, τὸ δποῖον παρουσιάζουν γραμμαὶ ἐκπεμπόμεναι ἐκ τῶν συμβατικῶν φωτεινῶν πηγῶν, ἀκόμη καὶ ὑπὸ τὰς καλυτέρας δυνατὰς κλασσικὰς πειραματικὰς συνθήκας, συνέπειαι τοῦ δποίου εἰναι ἀφ' ἐνδὸς ὁ μὴ ἀκριβὴς προσδιορισμὸς τῆς συχνότητος καὶ ἀφ' ἐτέρου ἡ ὑπερκάλυψις λεπτῶν συνιστωσῶν τῶν γραμμῶν, συνεπαγμένη τὴν ἀπώλειαν λεπτομερειῶν αἱ δποῖαι θὰ παρεῖχον, ἐνδεχομένως, πληροφορίας διὰ νέα φυσικὰ φαινόμενα.

Μία τοιαύτη περίπτωσις ἔξαιρετικῶς μεγάλης σημασίας, ὡς ἐκ τῶν ἔπιπτωσεών της ἐπὶ τῆς θεωρίας, εἰναι ἡ τῆς ἐρυθρᾶς γραμμῆς H_a τῆς σειρᾶς Balmer τοῦ ἀτομικοῦ ὑδρογόνου ($n = 3 \rightarrow n = 2, \lambda = 6523 \text{ Å}$) τῆς δποίας τὸ ἔξαιρετικῶς μέγα πλάτος (6000 MHz) δὲν ἐπέτρεπε τὴν διαπίσιν τῆς μικρᾶς διαφορᾶς ἐνεργείας (4 MeV) ἡ δποία ὑπάρχει μεταξὺ τῶν δύο ὑποσταθμῶν 2S_{1/2} καὶ 2P_{1/2} τῆς κατωτέρας στάθμης $n = 2$, (σχ. 1). ᩩ δια-



Σχ. 1.

φορά αύτη διεπιστώθη άρχικῶς ἐμμέσως διὰ φασματοσκοπίου μικροκυμάτων³, τοῦ δποίου ἡ διακριτικὴ ἵκανότης εἶναι πολὺ μεγαλυτέρα τῆς τῶν κλασικῶν δπτικῶν φασματοσκοπίων, ὥπο τῶν Lamb καὶ Rutherford καὶ ὀνομάσθη «μετατόπισις Lamb», μετὰ δὲ τὴν ἐφαρμογὴν τοῦ λάζερ εἰς τὴν φασματοσκοπίαν εὑρέθη καὶ δι' δπτικοῦ φασματοσκοπίου ὑπὸ τοῦ Hänsch καὶ τῶν συνεργατῶν του.⁴ Η βεβαίωσις καὶ ἀκριβής μέτρησις τῆς μετατοπίσεως Lamb ἦτο ἔξαιρετικῆς σημασίας, δεδομένου ὅτι συμφώνως πρὸς τὴν ρελατιβιστικὴν θεωρίαν τοῦ Dirac αἱ ὑποστάθμαι $2S_{1/2}$ καὶ $2P_{1/2}$ θὰ ἔπειπε νὰ συμπίπτουν ἐφ' ὅσον διαφέρουν μόνον κατὰ τὸν ἀζημουθιακὸν κβαντικὸν ἀριθμὸν (S, P) ἀπὸ τὸν δποῖον δὲν ἔξαρτᾶται ἡ ἐνέργεια τῆς στάθμης.

Η ἀναμφισβήτητος πειραματικὴ διαπίστωσις τῆς μετατοπίσεως Lamb εἶναι ἐν ἐκ τῶν κυρίων πειραματικῶν δεδομένων τὰ δποῖα συνετέλεσαν εἰς τὴν ἀνάπτυξιν τῆς νέας θεωρίας Dirac, τῆς κβαντικῆς ἡλεκτροδυναμικῆς (K.H.D). [Quantenelectrodynamics (Q.E.D)] καὶ ἀποτελεῖ ὡραῖον παράδειγμα τῆς μεγάλης σημασίας τὴν δποίαν εἶναι δυνατὸν νὰ ἔχουν ἐλάχισται ἀριθμητικαὶ ἀποκλίσεις μεταξὺ θεωρίας καὶ πειράματος.

Νεώτεραι μετρήσεις ἀκριβείας⁴⁻⁵⁻⁶ τῶν τιμῶν ἐνέργειας πολλῶν ὑδρογονικῶν σταθμῶν διὰ τῶν μεθόδων τῆς διὰ λάζερ φασματοσκοπίας ἔδωσαν ἀποτελέσματα ἔξαιρέτου συμφωνίας μὲ τὴν κβαντικὴν ἡλεκτροδυναμικὴν καὶ εἶναι μεταξὺ τῶν ἀκριβεστέρων κριτηρίων αὐτῆς.

Εἰς τὰ ἐπόμενα ἐκτίθενται αἱ βασικαὶ ἀρχαὶ ἐπὶ τῶν δποίων στηρίζονται αἱ διάφοροι μέθοδοι τῆς διὰ λάζερ φασματοσκοπίας καὶ ἀναφέρονται παραδείγματα χαρακτηριστικὰ τῆς λίαν ὑψηλῆς διακριτικῆς ἵκανότητος ἡ δποία ἐπιτυγχάνεται δι' αὐτῶν.

I. ΑΙ ΜΕΘΟΔΟΙ ΤΗΣ ΔΙΑ ΛΑΖΕΡ ΦΑΣΜΑΤΟΣΚΟΠΙΑΣ

Πλάτος τῶν φασματικῶν γραμμῶν

Μικρὰ διακύμανσις τῆς συχνότητος φασματικῆς γραμμῆς περὶ τὴν ἴδινην τιμὴν ω_0 ^{*}, τὴν δριζομένην ὑπὸ τῆς κβαντικῆς συνθήκης τοῦ Bohr:

$$\hbar\omega_0 = E_n - E_m, \quad 1$$

τὸ καλούμενον «φυσικὸν πλάτος» τῆς γραμμῆς, δικαιολογεῖται θεωρητικῶς κατὰ τὴν ἀρχὴν τῆς ἀπροσδιοριστίας ΔωΔτ ≥ 1 , ἀπὸ τὴν μείωσιν τοῦ χρόνου ζωῆς Δτ τῆς διηγερμένης στάθμης ἐνέργειας τοῦ ἐκπέμποντος ἀτόμου (ἢ μορίου), συνεπείᾳ κυρίως τῆς ἀκτινοβολίας. Ἀκτινοβολία ἐκπεμπομένη

* Η συχνότης φασματικῆς γραμμῆς θὰ σημειοῦται εἰς τὰ ἐπόμενα διὰ ω , ἡ δὲ συχνότης τοῦ κύματος τοῦ λάζερ διὰ v .

κατά τὴν μετάβασιν ἀτόμων (μορίων) ἀπὸ διηγερμένην στάθμην ἐνεργείας E_n , χρόνου ζωῆς Δt , ἔχει συμφώνως πρὸς τὴν σχ. 1, τὸ φυσικὸν πλάτος

$$\Delta \omega \geq \frac{1}{\Delta t}.$$

Γραμμαὶ ἴσχυρᾶς ἐντάσεως προέρχονται ἀπὸ διηγερμένας στάθμας μικροῦ χρόνου καὶ ἔχουν ὡς ἐκ τούτου μέγα φυσικὸν πλάτος.

Εἰς τὴν ὄρατὴν περιοχὴν τὸ φυσικὸν πλάτος εἶναι τῆς τάξεως 10 ἑως 10^7 Hertz εἰς γραμμὰς ἀτόμων καὶ 10 ἑως 10^8 Hz εἰς γραμμὰς μορίων, ἔξαρταται δὲ διὰ τὸ αὐτὸν ἀπὸ τὴν συχνότητα τῆς γραμμῆς (ἴε. 4). Ὡς παράδειγμα ἀναφέρομεν διτὶ διὰ τὴν γραμμὴν $\lambda = 0,63\mu m$ τοῦ στοιχείου ^{20}Ne διάφοροι ἔρευνηταὶ δίδουν φυσικὰ πλάτη 10 ἑως 15 MHz.

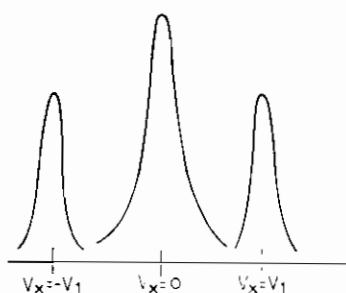
Τὸ πραγματικὸν ὅμως πλάτος τῶν φασματικῶν γραμμῶν εἶναι κατὰ πολλὰς τάξεις μεγέθους μεγαλύτερον τοῦ φυσικοῦ (π.χ. ἡ γραμμὴ H_B τοῦ ἀτομικοῦ ὑδρογόνου ἔχει πλάτος 6000MHz), τὴν κυριωτέραν δὲ αἰτίαν διαπλατύνσεως ἀποτελοῦν αἱ κατὰ τὴν θερμικὴν μοριακὴν κίνησιν κρούσεις μεταξὺ τῶν μορίων, ἐπιφέρουσαι διακυμάνσεις τῶν τιμῶν ἐνεργείας τῶν σταθμῶν λίαν σημαντικάς, ἵδιως εἰς τὴν περίπτωσιν τῶν στερεῶν.

Ἡ ἐκ τῶν θερμικῶν κρούσεων διαπλάτυνσις ἀποφεύγεται ἡ ἐλαττοῦται σημαντικῶς ἐὰν τὸ ὄλικὸν ληφθῇ εἰς ἀερίαν κατάστασιν καὶ ὑπὸ μικρὰς πιέσεις, συνθήκας ὑπὸ τὰς ὁποίας αἱ θερμικαὶ μοριακαὶ κρούσεις εἶναι ἀμελητέαι. Ἐν τούτοις εἰς ἀέρια ὑπὸ μικρὰς πιέσεις παραμένει ὡς κύριον αἰτιον αἰσθητῆς διαπλατύνσεως συνεπεία τῆς θερμικῆς μοριακῆς κινήσεως, τὸ φαινόμενον Doppler κατὰ τὸ ὅποιον ἡ κβαντικὴ συχνότης ἡ φωτεινῆς πηγῆς κινουμένης ὡς πρὸς τὸν παρατηρητὴν μὲ ταχύτητα $|v_x|$ μετατίθεται εἰς

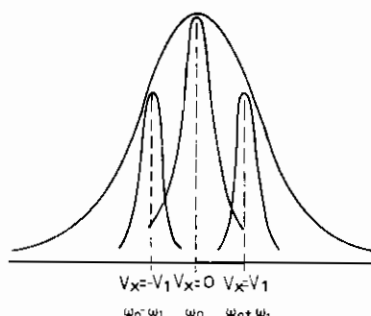
$$\omega = \omega_0 \left(1 \pm \frac{v_x}{c} \right) \quad 2$$

ἔνθα εἶναι ἡ ταχύτης τοῦ φωτὸς εἰς τὸ κενόν.

Ως ἐκ τοῦ φαινομένου Doppler φασματικὴ γραμμὴ ἐκπεμπομένη ἀπὸ σύνολον ἀτόμων (μορίων) ἀερίου, εἶναι κατ' οὐσίαν σύνολον πλήθους πολὺ στενοτέρων γραμμῶν διαφόρων συχνοτήτων, ἔκαστη τῶν ὅποιων ἐκπέμπεται ἀπὸ διάδα μορίων μὲ τὴν αὐτὴν προβολὴν v_x τῆς μοριακῆς θερμικῆς ταχύτητος κατὰ τὴν διεύθυνσιν τῆς παρατηρήσεως (σχῆμα 2α). Ἡ μικρὰ διαπλάτυνσις τῶν γραμμῶν τῆς αὐτῆς διάδος μορίων εἶναι κυρίως τὸ φυσικὸν πλάτος, λέγεται δὲ ὁμογενῆς διαπλάτυνσις, ἐν ἀντιθέσει πρὸς τὴν συνολικὴν διαπλάτυνσιν, καλούμενην ἀνομιογενῆ, ὡς προερχομένην ἀπὸ διάδας μορίων μὲ διαφόρους τιμὰς τῆς ταχύτητος v_x (σχ. 2β). Γραμμὴ παρουσιάζουσα διαπλάτυνσιν ἐκ τοῦ φαινομένου Doppler ἀποκαλεῖται χάριν συντομίας γραμμὴ Doppler.



Σχ. 2α

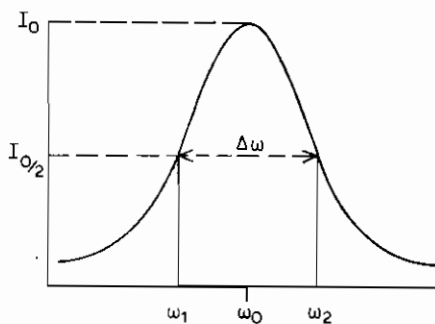


Σχ. 2β

Είς άεριον κατάστασιν θερμικής ισορροπίας ή κατανομή της θερμικής ταχύτητος τῶν μορίων είναι ίσοτροπος, δηλ. δλαι αἱ κατευθύνσεις είναι ἐξ ίσου πιθαναι εἰς τὴν μοριακὴν κίνησιν, ή δὲ προβολὴ τῶν ταχυτήτων καθ' οίανδήποτε διεύθυνσιν δίδεται ἀπὸ τὴν κατανομὴν Maxwell, τῆς δποίας γραφικὴ παράστασις είναι ή καμπύλη Gauss (σχ. 3).

Απὸ καμπύλην τῆς αὐτῆς μορφῆς δίδεται ή κατανομὴ τῆς ἐντάσεως γραμμῆς Doppler, ἐφ' δσον ή ἔντασις είναι ἀνάλογος τοῦ πλήθους τῶν ἐκπεμπόντων ἀτόμων, λέγεται δὲ «σχῆμα» τῆς γραμμῆς. Τὸ μέγιστον τῆς ἐντάσεως Ιο ἀντιστοιχεῖ εἰς τὴν συχνότητα τῆς κβαντικῆς μεταβάσεως ω₀, ή δποία ἐκπέμπεται ἀπὸ μόρια κινούμενα καθέτως πρὸς τὸν παρατηρητὴν ($v_x = 0$) τῶν δποίων ἐπομένως ή συχνότης δὲν μετατίθεται ἐκ τοῦ φαινομένου Doppler.

Ως πλάτος καλούμενον ἐνίστε καὶ «ἡμιπλάτος γραμμῆς Doppler» δρίζεται ή διαχορᾶ Δω τῶν συχνοτήτων ω₁ καὶ ω₂, ἐκατέρωθεν τῆς ω₀, εἰς τὰς δποίας ή ἔντασις ισοῦται μὲ τὸ ἥμισυ τῆς μεγίστης (σχ. 3). Λαμβανομένης



Σχ. 3

νπ' οψιν τῆς κατὰ Maxwell κατανομῆς τῶν θερμικῶν μοριακῶν ταχυτήτων προκύπτει διὰ τὸ πλάτος γραμμῆς Doppler ἢ σχέσις:

$$\Delta\omega = 2 \frac{\omega_0}{c} \left(\frac{2KT \log 2}{m} \right)^{1/2} \quad 3$$

Κ εἶναι ἡ σταθερὰ Boltzmann, T ἡ ἀπόλυτος θερμοκρασία τοῦ ἀερίου καὶ m ἡ μᾶζα τοῦ μορίου (ἀτόμου). Ἐάν εἰς τὴν σχέσιν 3 εἰσαχθῇ ἡ παγκόσμια σταθερὰ τῶν ἀερίων R = KN, καὶ ἀντικατασταθοῦν αἱ σταθεραὶ διὰ τῶν ἀριθμητικῶν τῶν τιμῶν προκύπτει διὰ τὸ σχετικὸν πλάτος:

$$\frac{\Delta\omega}{\omega_0} = 7,163 \times 10^{-7} \left(\frac{T}{M} \right)^{1/2} \quad 4$$

Μ εἶναι τὸ μοριακὸν (ἀτομικὸν) βάρος τοῦ ἀερίου.

Διὰ τὸ ἀτομικὸν ὑδρογόνον εἰς τὴν θερμοκρασίαν T = 300 K καὶ εἰς τὴν ὁπτικὴν περιοχὴν, δ ὁλόγος $\frac{\Delta\omega}{\omega_0}$ εἶναι τῆς τάξεως 10^{-5} . Συγκεκριμένως διὰ τὴν γραμμὴν H_α τῆς σειρᾶς Balmer ($\omega = 4,6 \times 10^{14}$ Hz) εἶναι: $1,24 \times 10^{-5}$

"Ἄρα $\Delta\omega = 6000$ MHz.

‘Ως μέτρον τῆς διακριτικῆς ἵκανότητος μιᾶς φασματοσκοπικῆς διατάξεως, ὑπὸ τὴν προϋπόθεσιν διτὶ δὲν περιορίζεται αὐτῇ ἀπὸ τὰ μέσα πειραματισμοῦ, ἀλλὰ κυρίως ἀπὸ τὸ φαινόμενον Doppler, λαμβάνεται ὁ λόγος,

$$Q = \frac{\omega_0}{\Delta\omega}, \text{ δ καλούμενος συντελεστὴς ποιότητος.}$$

Διὰ τὴν γραμμὴν H_α τοῦ ὑδρογόνου εἶναι Q = 8 × 10⁴ καὶ εἰς ἄτομα μεγαλύτερου ἀτομικοῦ βάρους δὲν ὑπερβαίνει εἰς τὴν ὁπτικὴν περιοχὴν (συχνότητος 10^{14} - 10^{15} Hz) τὴν τάξιν μεγέθους 10^6 , περιλαμβάνεται δὲ μεταξὺ 10^5 καὶ 10^6 . ‘Ωστε ἡ συμβατικὴ διπτικὴ φασματοσκοπία ὑπολείπεται, ὡς ἐκ τοῦ φαινομένου Doppler, κατὰ πολὺ τῆς φασματοσκοπίας μικροχυμάτων, εἰς τὴν διποίαν δ ὁλόγος Q εἶναι τῆς τάξεως 10^9 , ἀκόμη δὲ περισσότερον ὑπολείπεται τῆς πυρηνικῆς φασματοσκοπίας εἰς τὴν διποίαν δ συντελεστὴς ποιότητος εἶναι τῆς τάξεως 10^{15} .

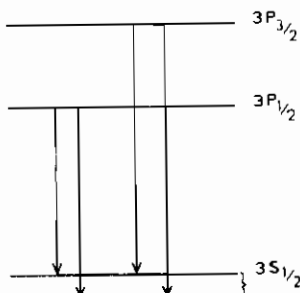
‘Η διαπλάτυνσις Doppler θὰ ἀπεφεύγετο, ἢ τουλάχιστον θὰ ἐμειοῦτο σημαντικῶς, ἐὰν καθίστατο δυνατὴ ἡ ἔκπομπὴ τοῦ φάσματος ἀπὸ δύμάδα

μορίων τῶν ὁποίων αἱ μέσαι θερμικαὶ ταχύτητες κατὰ τὴν διεύθυνσιν τῆς παρατηρήσεως, περιορίζονται ἐντὸς πολὺ στενῆς περιοχῆς*.

Ἡ ἐπιλογὴ αὕτη κατέστη τελικῶς δυνατὴ δι' εἰδικῶν φασματοσκοπικῶν μεθόδων μετὰ τὴν ἀντικατάστασιν τῶν συμβατικῶν φωτεινῶν πηγῶν διὰ τοῦ λάζερ, ἀφοῦ προηγουμένως εἶχον ἐφαρμοσθεῖ διάφοροι ἄλλαι μέθοδοι, βασικὴ ἐπιδίωξις τῶν ὁποίων ἡτοῦ ἡ μείωσις τῆς διασπορᾶς τῶν μοριακῶν ταχυτήτων, ὡς π.χ. ἡ μέθοδος τῆς ψύξεως τοῦ ἐκπέμποντος ἀερίου, ἡ ὁποίᾳ ὅμως, ἐπειδὴ ἡ μοριακὴ ταχύτης εἶναι ἀνάλογος τῆς τετραγωνικῆς ρίζης τῆς θερμοκρασίας, δὲν εἶναι ἀρκετὰ ἀποτελεσματική.

Ἡ παλαιοτέρα ἐπιτυχὴς καὶ εὐρύτερον ἐφαρμοσθεῖσα μέθοδος εἶναι ἡ τῶν μοριακῶν δεσμῶν, κατὰ τὴν ὁποίαν τὸ ἀερίον λαμβάνεται ὑπὸ μορφὴν λεπτῆς δέσμης μορίων (ἀτόμων) κατευθυνομένων καθέτως πρὸς τὴν διεύθυνσιν τῆς παρατηρήσεως. Διὰ τῆς μεθόδου αὕτης διεπιστώθη, ἥδη ἀπὸ τοῦ ἔτους 1928⁷, ἡ διπλὴ δομὴ τῶν δύο γραμμῶν συντονισμοῦ τοῦ $Na : 3S_{1/2} - 3P_{3/2}$ ($\lambda = 5890 \text{ Å}$) καὶ $3S_{1/2} - 3P_{1/2}$ ($\lambda = 5896 \text{ Å}$), προερχομένη ἀπὸ τὴν διάσπασιν τῆς κοινῆς κατωτέρας στάθμης εἰς δύο συνιστώσας (σχ. 4). Ἡ διαφορὰ τῶν μηκῶν κύματος τῶν δύο συνιστωσῶν τῆς διπλῆς δομῆς εἶναι μόλις $0,02 \text{ Å}$ περίπου. Διὰ τῆς αὕτης μεθόδου διηρευνήθη βραδύτερον ὅλη ἡ ὑπερλεπτὴ δομὴ τοῦ φάσματος τοῦ Na^8 .

Γενικῶς ἡ μέθοδος τῶν μοριακῶν δεσμῶν ἔδωσε πολὺ καλὰ ἀποτελέσματα, ἐφαρμόζεται δὲ ἀκόμη καὶ σήμερον, σημαντικῶς ὅμως βελτιωθεῖσα διὰ τῆς διεγέρσεως τῶν μορίων τοῦ ἀερίου μὲν λάζερ ρυθμιζομένης συχνότη-



Σχ. 4

* Αἱ σημειωθῆται διαχωρισμοὶ μορίων στενῆς περιοχῆς θερμικῶν ταχυτήτων δὲν εἶναι νέα. Πρὸ ἐκατὸν περίπου ἑτδὲ ὁ Maxwell ἐφαντάσθη ὅντα προικισμένα μὲν ἔξαιρετικάς ιδιότητας (δύναμασθέντα «δαίμονες τοῦ Maxwell») ίκανά νὰ διαχωρίσουν μόρια μὲ ταχύτητας μεγαλυτέρας τῆς μέσης θερμικῆς ταχύτητος, μὲ ἀποτελέσματα ἀντιφάσεων πρὸς τὸ δεύτερον θερμοδυναμικὸν ἀξίωμα.

τος. Δὲν είναι ἐν τούτοις δυνατὸν νὰ ἔχῃ γενικὴν ἐφαρμογὴν. Εἶναι π.χ. ἀκατάλληλος διὰ σπανίας οὐσίας ἢ διὰ στοιχεῖα μὲν μικρὸν χρόνον ζωῆς τῶν διηγερμένων σταθμῶν.

Φασματοσκοπία διὰ τοῦ λάζερ

‘Η τελείως νέα τροπή τὴν ὅποιαν ἐπέφερε τὸ λάζερ εἰς τὴν ὁπτικὴν φασματοσκοπίαν ὀφείλεται εἰς τὰς ἑξαιρετικὰς ἰδιότητας τῆς ἀκτινοβολίας του, χαρακτηριζομένης ἀπὸ πολὺ μεγάλην ἴσχυν ἐν σχέσει πρὸς τὰς συμβατικὰς πηγάς, χαμηλὸν θόρυβον καὶ ὑψηλὴν φασματικὴν καθαρότητα (μονοχρωματικότητα) καὶ κατευθυντικότητα, ἰδιότητας τὰς ὅποιας προηγουμένως εἶχον μόνον αἱ πηγαὶ τῶν μικροκυμάτων. Αἱ ἰδιότητες αὗται τοῦ λάζερ καθιστοῦν δυνατὴν τὴν λῆψιν φασματικῶν γραμμῶν ἐκπομπῆς ἢ ἀπορροφήσεως, μόνον ἀπὸ δμάδα ἀτόμων πολὺ στενῆς περιοχῆς ἀξονικῶν ταχυτήτων (προβολῶν τῶν μοριακῶν ταχυτήτων κατὰ τὸν ἀξονα διαδόσεως τῆς δέσμης τοῦ λάζερ).’ Επὶ πλέον διὰ τῆς πηγῆς λάζερ διευρύνεται τὸ πεδίον ἐρεύνης εἰς περιοχὰς μηκῶν κύματος διὰ τὰς ὅποιας δὲν ὑπάρχουν ἴσχυραι συμβατικαὶ πηγαί. Οὐσιώδεις πλεονέκτημα τῆς διὰ λάζερ φασματοσκοπίας εἶναι ἐπίσης ἡ δυνατότης λήψεως γραμμῶν «ἀπηγορευμένων» ἀπὸ τοὺς κανόνας ἐπιλογῆς τῆς συμβατικῆς φασματοσκοπίας.

‘Η ἐφαρμογὴ τοῦ λάζερ εἰς τὴν φασματοσκοπίαν ἤρχισεν εὐθὺς μετὰ τὴν κατασκευὴν τῶν πρώτων λάζερ (1960), ἀνεπτύχθη δύμας κυρίως ἀπὸ τοῦ ἔτους 1970, μετὸ τὴν ἑξέλιξιν τῶν διαφόρων τύπων λάζερ, ἢ ὅποια κατὰ τὴν δεκαετίαν 1970-80 ὑπῆρξε πράγματι ἐντυπωσιακή. Σήμερον ὑπάρχουν εἰς τὴν διάθεσιν τῶν ἐρευνητῶν λάζερ ρυθμιζομένης συχνότητος, εἴτε συνεχοῦς λειτουργίας, εἴτε παλμῶν βραχυτάτης διαρκείας καὶ μεγάλης ἴσχύος μὲν ἑξαρετον σταθερότητα συχνότητος, καλύπτοντα τὴν περιοχὴν ἀπὸ τοῦ ἀκρου ὑπερύθρου μέχρι τοῦ ὑπεριώδους κενοῦ.

Τὴν ἑξέλιξιν τῶν πηγῶν ἡκολούθησε μὲν ρυθμὸν ταχύτατον, χάρις εἰς τὴν ἐντονοτάτην ἔρευναν πλήθους ἐπιστημόνων, ραγδαίᾳ ἑξέλιξις τῆς ὁπτικῆς φασματοσκοπίας, τῆς ὅποιας ἢ διακριτικὴ ἱκανότης ἔφθασε τὴν τάξιν 10^{10} , ἢ δὲ εὐπάθεια εἶναι τόσον μεγάλη ὥστε εἶναι δυνατὴ ἡ ἀνίχνευσις καὶ ἀκριβῆς μέτρησις γραμμῶν προερχομένων ἐξ δλίγων μόνον μορίων, ὡς π.χ. ἐκ λίστης βραχυβίων τεχνητῶς παραγομένων ραδιενεργῶν στοιχείων. Νέα ὀθησις ἐδόθη εἰς πολλὰ πεδία τῆς ἀτομικῆς καὶ τῆς μοριακῆς φασματοσκοπίας καὶ εἰς τὴν διερεύνησιν θεωρητικῶν, ἀλλὰ καὶ τεχνικῶν προβλημάτων σχετιζομένων μὲ τὰ φάσματα, ὡς π.χ. ὁ διαχωρισμὸς ἴσοτόπων.

Γενικῶς αἱ δυνατότητες τῆς διὰ λάζερ φασματοσκοπίας ἐκτείνονται εἰς πολλὰ πεδία τῆς πειραματικῆς Φυσικῆς (βλ. σελ. 35), ἀλλ’ ἐπίσης καὶ εἰς

τὸν ἔλεγχον τῶν νεωτέρων θεωριῶν τῆς κβαντικῆς ἡλεκτροδυναμικῆς, εἰς τὴν δποίαν ἀλλως τε ὀδήγησεν δ ἀκριβῆς προσδιορισμὸς τῶν σταθμῶν ἐνεργείας τοῦ ἀτομικοῦ ὑδρογόνου (μετατόπιστις Lamb. σελ. 5).

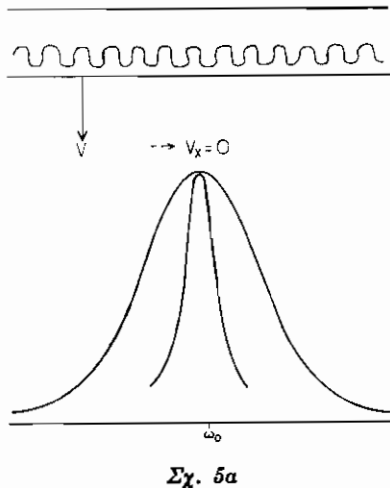
‘Η διὰ λάζερ φασματοσκοπία στηρίζεται εἰς νέα φαινόμενα, προκύπτοντα ἐκ τῆς μὴ γραμμικῆς ἀλληλεπιδράσεως τοῦ ἴσχυροῦ μονοχρωματικοῦ πεδίου ἀκτινοβολίας τοῦ λάζερ καὶ ἀτομικῶν (ἢ μοριακῶν) κβαντικῶν μεταβάσεων, ἐκ τῶν ὁποίων προκύπτουν γραμματὶ Doppler καὶ λέγεται διὰ τοῦτο «μὴ γραμμικὴ φασμοφορισκοπία διὰ λάζερο». ‘Η διερεύνησις τῶν φαινομένων αὐτῶν ὀδήγησεν εἰς τὴν διαμόρφωσιν νέων μεθόδων φασματικῆς ἐρεύνης, αἱ δποῖαι δύνανται νὰ ὑπαχθοῦν εἰς τὰς ἔξης δύο βασικὰς κατηγορίας, ἐκάστη τῶν ὁποίων περιλαμβάνει διαφόρους πειραματικάς διατάξεις:

1. Φασματοσκοπία κόρου
2. Φασματοσκοπία διὰ δύο ἢ περισσοτέρων φωτονίων

‘Αρχὴ τῆς φασματοσκοπίας κόρου

‘Αντίδρασις ἐπιπέδου μονοχρωματικοῦ κύματος μὲ κβαντικὴν μετάβασιν παρουσιάζουσαν διαπλάτυσιν Doppler

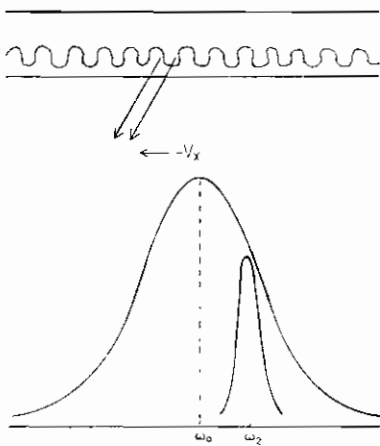
a. Προχωροῦν κῦμα. Θεωρήσωμεν τὴν ἰδανικὴν περίπτωσιν ἐπιπέδου προχωροῦντος φωτεινοῦ κύματος ἀπολύτως μονοχρωματικοῦ, διαδέδομένου ἐντὸς ἀερίου τοῦ ὁποίου αἱ φασματικαὶ γραμματὶ παρουσιάζουν διαπλάτυσιν Doppler. ‘Εστω ν ἡ συχνότης τοῦ κύματος καὶ ω ἡ κυρία συχνότης (ἢ



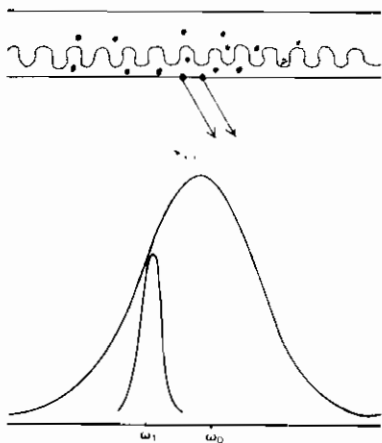
δριζομένη ύπό της κβαντικής συνθήκης λεγόμενη $\omega_0 = E_p - E_m$) μιας κβαντικής μεταβάσεως άτομων του άερίου μεταξύ των δύο σταθμών ένεργειας E_p , E_m . Τὸ κῦμα θὰ ἀντιδράσῃ μὲ τὴν μετάβασιν δταν αἱ συχνότητές των συντονίζονται, ἐπομένως δταν ἡ συχνότης ν τοῦ κύματος περιλαμβάνεται ἐντὸς τῆς περιοχῆς συχνοτήτων τῆς γραμμῆς Doppler, ἡ ὅποια προκύπτει ἐκ τῆς μεταβάσεως. Ἐν εἰναι $v = \omega_0$, ἀν δηλ. ἡ συχνότης τοῦ κύματος συμπίπτει ἀκριβῶς μὲ τὸ κέντρον τῆς γραμμῆς Doppler, τὸ κῦμα θὰ ἀντιδράσῃ μόνον μὲ ἀτομα τῶν ὅποιων ἡ μέση ταχύτης τῆς θερμικῆς κινήσεως εἰναι σχεδὸν κάθετος ἐπὶ τὴν διεύθυνσιν τῆς διαδόσεως του (σχ. 5α). «Σχεδὸν» λόγῳ κυρίως τοῦ φυσικοῦ πλάτους ἀλλὰ κοὶ ἄλλων δευτερευόντων αἰτίων ἀσθενοῦς διαπλατύνονται. Ἐὰν εἰναι $v = \omega_0$ ἡ ἀντίδρασις θὰ γίνῃ μὲ ἔτομα τῶν ὅποιων ἡ συνιστῶσα νι τῆς μέσης θερμικῆς ταχύτητος κατὰ τὴν διεύθυνσιν τῆς διαδόσεως τοῦ κύματος εἰναι ἵκανη νὰ μεταφέρῃ διὰ τοῦ φαινομένου Doppler τὴν κυρίαν συχνότητα ω τῆς γραμμῆς πλησίον τῆς ν κατὰ προσέγγισιν τοῦ φυσικοῦ πλάτους γ, ἀρα μὲ ἀτομα τῶν ὅποιων αἱ προβολαὶ τῶν ταχυτήτων κατὰ τὴν διεύθυνσιν τοῦ κύματος πληροῦν τὴν συνθήκην:

$$\left| \omega_0 \left(1 \pm \frac{v_x}{c} \right) - v \right| \leq \gamma \quad (\text{σχ. } 5\beta, 5\gamma)$$

Ἐπομένως τὸ κῦμα θὰ ἀντιδράσῃ ἐκλεκτικῶς μὲ περιορισμένην ὁμάδσ ἀτόμων, τῶν ὅποιων αἱ προβολαὶ τῶν θερμικῶν ταχυτήτων κατὰ τὴν διεύθυνσιν τῆς διαδόσεως του περιλαμβάνονται ἐντὸς τῆς στενῆς περιοχῆς:



Σχ. 5β

 $\Sigma\chi. 5\gamma$

$$\left| \delta v_x \right| = \frac{\gamma}{K} \quad \text{δπου} \quad K = \frac{\omega_0}{c} \quad 5$$

τὸ κέντρον τῆς ὁποίας ὀρίζεται ἐκ τῆς σχέσεως:

$$\omega_0 \left(1 \pm \frac{v_x}{c} \right) = v \quad 6$$

καὶ ἀφορᾶ ἅτομα διὰ τὰ ὁποῖα εἶναι:

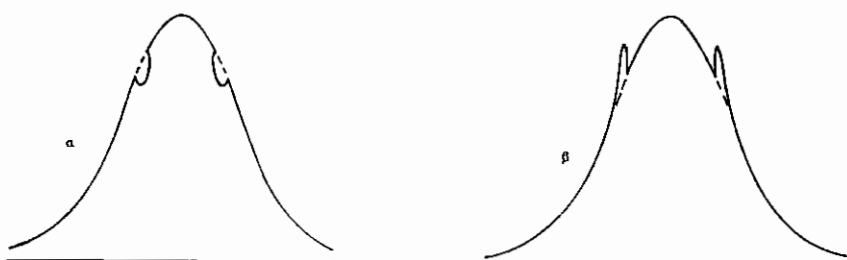
$$\left| v_x \right| = \frac{v - \omega_0}{K} \quad 7$$

β. Στάσιμον κῦμα. Τὸ στάσιμον μονοχρωματικὸν κῦμα δύναται νὰ θεωρηθῇ ὡς σύνθετον ἐξ δύο ἀντιθέτως προχωρούντων κυμάτων τῆς αὐτῆς συχνότητος. Τὰ δύο αὗτὰ κύματα διαδιδόμενα ἐντὸς ἀερίων θὰ ἀντιδράσουν συντονιστικῶς μὲ δύο ὄμαδας ἀτόμων (μορίων) τῶν ὁποίων αἱ προβολαὶ τῶν μοριακῶν ταχυτήτων κατὰ τὰς διευθύνσεις τῶν διαδόσεών των εἶναι ἵσαι καὶ ἀπόλυτον τιμήν, ἀλλ' ἀντιθέτου φορᾶς. Ἐὰν ἡ συχνότης ν τοῦ κύματος συμπίπτει μὲ τὴν κυρίαν συχνότητα ᾧ φασματικῆς γραμμῆς (ἀκριβῶς ἐὰν εἶναι $v - \omega_0 \leq \gamma$), αἱ δύο ὄμαδες συγχωνεύονται εἰς μίαν, περιλαμβάνου-

σαν δλα τὰ μόρια τῶν ὅποιων αἱ θερμικαὶ ταχύτητες εἰναι οὐσιωδῶς κάθετοι ἐπὶ τὸν ἀξονα διαδόσεως τοῦ κύματος, ἀνεξαρτήτως τῆς ἀπολύτου τιμῆς αὐτοῦ.

Ἐκ τῆς ἔκλεκτικῆς ἀντιδράσεως τοῦ κύματος μὲ διτομα περιωρισμένης περιοχῆς ταχυτήτων ἐπέρχεται ἀλλοίωσις τῆς φυσικῆς κατανομῆς τῶν μοριακῶν ταχυτήτων εἰς τὰς στάθμας ἐνεργείας μιᾶς κβαντικῆς μεταβάσεως. Ἐὰν τὰ μόρια τοῦ ἀερίου εἰναι διηγερμένα, ἀν δηλ. τὸ ἀέριον εὑρίσκεται εἰς κατάστασιν ἐκπομπῆς, τὸ κῦμα θὰ ἀποδιεγείρῃ δι' ἔξηναγκασμένης ἐκπομπῆς τὰ μόρια μὲ τὰ ὄποια ἀντιδρᾶ. Κατὰ συνέπειαν θὰ ἐλαττωθῇ τὸ πλῆθος τῶν μορίων ὡρισμένης, στενῆς περιοχῆς ἀξονικῶν ταχυτήτων, τῆς ἀνωτέρας στάθμης ἐνεργείας καὶ θὰ αὔξηθῇ ἀντιστοίχως τὸ πλῆθος τῶν μορίων τῆς αὐτῆς περιοχῆς ταχυτήτων τῆς κατωτέρας στάθμης. Ὡς ἐκ τούτου αἱ καμπύλαι φυσικῆς κατανομῆς τῶν μοριακῶν ταχυτήτων θὰ παραμορφωθοῦν. "Οταν τὸ κῦμα εἰναι στάσιμον εἰς μὲν τὴν ἀνωτέραν στάθμην θὰ ἐμφανισθοῦν δύο στενὰ βυθίσματα, ἀποκαλούμενα συνήθως «ὅπαί», συμμετρικῶς ἔκατέρωθεν τῆς κορυφῆς τῆς καμπύλης (σχ. 6α), εἰς δὲ τὴν κατωτέραν δύο στεναὶ αἰχμαὶ εἰς τὴν αὐτὴν περιοχὴν ταχυτήτων (σχ. 6β). Τὸ μέσον τῶν παραμορφώσεων ἀντιστοιχεῖ εἰς τιμὴν τῆς μοριακῆς ταχύτητος ἵκανοποιούσαν τὴν σχέσιν $\omega_0 = v \pm Kv_x$ (ἐξ. 5 καὶ 6), διόν εἰναι κβαντικὴ συχνότης τῆς γραμμῆς ἢ ὄποια ἐκπέμπεται ἐκ τῆς μεταβάσεως τῶν μορίων ἐκ τῆς ἀνωτέρας εἰς τὴν κατωτέραν στάθμην καὶ v ἡ συχνότης τοῦ στασίμου κύματος. Ἐὰν εἰναι $v = \omega_0$ αἱ δύο παραμορφώσεις θὰ συμπέσουν εἰς τὴν κορυφὴν τῆς καμπύλης. Εἰς τὴν περίπτωσιν προχωροῦντος κύματος θὰ ἐμφανισθῇ μία μόνον παραμόρφωσις δεξιὰ ἢ αριστερὰ (τοῦτο ἐξαρτᾶται ἐκ τῆς φορᾶς τοῦ κύματος) τοῦ μέσου τῆς καμπύλης φυσικῆς κατανομῆς.

Ἐὰν τὰ μόρια τοῦ ἀερίου δὲν εἰναι διηγερμένα, ἀν δηλαδὴ τὸ ἀέριον εὑρίσκεται εἰς κατάστασιν ἀπορροφήσεως, τὸ κῦμα θὰ προκαλέσῃ ἔκλεκτικὴν διέγερσιν τῶν μορίων ὡρισμένης στενῆς περιοχῆς ἀξονικῶν ταχυτήτων μὲ τὰ ὄποια συντονίζεται. Ἐπομένως τὸ πλῆθος τῶν μορίων περιοχῆς

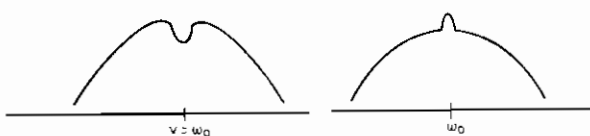


Σχ. 6

αύτῆς θὰ ἐλαττωθῇ εἰς τὴν κατωτέραν στάθμην ἐνεργείας καὶ θὰ αὐξηθῇ ἀντιστοίχως εἰς τὴν ἀνωτέραν (σχ. 6β). Φυσικὴ συνέπεια τῆς ἀλλοιώσεως τῆς φυσικῆς κατανομῆς τοῦ πληθυσμοῦ τῶν μορίων εἰς τὰς στάθμας ἐνεργείας μᾶς μεταβάσεως ἐκ τῆς ὁποίας προκύπτει γραμμὴ Doppler, είναι ἡ ἀλλοιώσις τῆς κατανομῆς τῆς ἐντάσεως αὐτῆς. Εἰς ἔκπεμπον ἀέριον ἡ ἐκλεκτικὴ ἐλάττωσις τοῦ πλήθους τῶν μορίων τῆς ἀνωτέρας στάθμης θὰ ἐπιφέρῃ ἐλάττωσιν τῆς ἐντάσεως τῆς ἐκπεμπομένης φασματικῆς γραμμῆς εἰς ὧρισμένην, στενήν περιοχὴν συχνοτήτων, ἡ δὲ ἐκλεκτικὴ αὔξησις τοῦ πλήθους τῶν μορίων τῆς ἀνωτέρας στάθμης εἰς ἀπορροφοῦν ἀέριον θὰ ἐπιφέρῃ ἐλάττωσιν τῆς ἀπορροφήσεως εἰς στενὴν περιοχὴν συχνοτήτων. Εἰς τὴν καμπύλην ἡ δόποια παριστᾶ τὴν ἐντασιν τῆς γραμμῆς συναρτήσει τῆς συχνότητος θὰ σχηματισθοῦν δύο στενὰ βυθίσματα (δόπαι) συμμετρικῶς ὡς πρὸς τὴν κορυφὴν εἰς τὴν περίπτωσιν ἐκπομπῆς καὶ δύο στεναὶ αἰχμαὶ ἀντιστοίχως εἰς τὴν περίπτωσιν τῆς ἀπορροφήσεως. Ἐὰν ἡ συχνότης τοῦ κύματος συμπίπτει μὲ τὴν κυρίαν συχνότητα τῆς γραμμῆς Doppler (τὴν κβαντικὴν συχνότητα), αἱ δύο παραμορφώσεις θὰ συμπέσουν εἰς τὴν κορυφὴν τῆς καμπύλης.

Τὸ πλάτος τῶν παραμορφώσεων είναι τὸ «δόμογενὲς» πλάτος (βλ. σελ. 6) τὸ δόποῖον είναι κυρίως τὸ φυσικὸν πλάτος, ἐλαφρῶς ήδη μένον ὡς ἐκ τῶν κρούσεων τῶν μορίων μεταξὺ των καὶ μὲ τὰ τοιχώματα τοῦ δοχείου ἐντὸς τοῦ δόποίου εύρισκεται τὸ ἀέριον. Ἐπειδὴ δὲ τὸ δόμογενὲς πλάτος είναι δυνατὸν νὰ είναι κατὰ πολλὰς τάξεις μεγέθους μικρότερον τοῦ πλάτους Doppler, ἡ θέσις τῆς κεντρικῆς αὐτῆς παραμορφώσεως, ἡ δόποια δίδει τὴν κυρίαν συχνότητα τῆς φασματικῆς γραμμῆς, είναι δυνατὸν νὰ προσδιορισθῇ μὲ μεγάλην ἀκρίβειαν.

Διὰ τὴν πραγματοποίησιν τῶν ἀνωτέρω ἀπαιτοῦνται αἱ ἔξῆς ἰδιότητες τοῦ ἐπιδρῶντος κύματος: σταθερὰ μονοχρωματικότης, τουτέστιν ὑψηλὴ χρονικὴ συμφωνία, ἥτοι σταθερότης τῆς συχνότητος ἐπὶ ἀρκετὸν χρονικὸν διάστημα, ὑψηλὴ κατευθυντικότης, ἥτοι ὑψηλὴ τοπικὴ συμφωνία, ὅχι καμπυλότης καὶ ἀρκετὰ ὑψηλὴ ἔντασις διὰ νὰ είναι τὸ κῦμα ἵκανὸν νὰ μεταφέρῃ μέγαν ἀριθμὸν μορίων ἀπὸ τῆς μᾶς στάθμης ἐνεργείας εἰς τὴν ἀλλην μέχρι σχεδὸν τῆς ἔξισώσεως τοῦ πληθυσμοῦ εἰς τὰς δύο στάθμας, ὥστε νὰ προκαλέσῃ ἐντόνους παραμορφώσεις. "Οταν ἔξισωθῇ ὁ πληθυσμὸς εἰς τὰς δύο στάθμας



Σχ. 7, 8

ή μετάβασις λέγεται «κορεσμένη», έξι οὖ καὶ ή δόνομασία «φασματοσκοπία κόρου».

Τὰς ίδιότητας αὐτὰς ἔχει εἰς μεγάλον βαθμὸν τὸ κῦμα τοῦ λάζερ. Εἶναι στάσιμον κῦμα, ὑψηλῆς τοπικῆς καὶ χρονικῆς συμφωνίας καὶ δρκετὰ μεγάλης ισχύος, ὥστε νὰ κορέσῃ τὴν μετάβασιν μὲ τὴν ὁποίαν ἀντιδρᾶ.

Bύθισμα Lamb.

Ἡ πρώτη διαπίστωσις τῆς ἀλληλεπιδράσεως φωτεινοῦ κύματος καὶ κβαντικῆς μεταβάσεως ἔγινεν εἰς τὴν ἐκπομπὴν τοῦ πρώτου κατασκευασθέντος λάζερ He - Ne, λειτουργοῦντος διὰ μίγματος τῶν ἀερίων He καὶ Ne, τοῦ ὅποίου αἱ γραμμαὶ παρουσίαζον διαπλάτυνσιν Doppler.

“Οταν ἡ ίδιοσυχνότης τοῦ ἀντηχείου τοῦ λάζερ, μεταβαλλομένη δι’ ἑλαφρᾶς μετατοπίσεως τῶν κατόπτρων του, συνέπιπτε μὲ τὴν κυρίαν συχνότητα τῆς ἐνισχυομένης διὰ τῆς δράσεως λάζερ γραμμῆς $\lambda = 1,15\text{μ} \mu\text{m}$ τοῦ ^{20}Ne , παρετηρεῖτο ἐλάττωσις τῆς ἐξερχομένης ισχύος^{10.11} (σχ. 7). Τὸ φαινόμενον τοῦτο τὸ δόποῖν ὀδήγησεν εἰς τὴν φασματοσκοπίαν κόρου ἐμελετήθη πλήρως ὑπὸ τοῦ Lamb¹² εἰς τὴν θεωρίαν του περὶ τῆς λειτουργίας τῶν δι’ ἀερίων λάζερ καὶ ὀνομάσθη «βύθισμα Lamb». “Ἄς σημειωθῇ ἐδῶ δτὶ ἡ πλήρης θεωρητικὴ διερεύνησις τῶν φαινομένων τῆς ἀλληλεπιδράσεως κύματος καὶ κβαντικῆς μεταβάσεως μὲ διαπλάτυνσιν Doppler εἰς τὴν γενικὴν περίπτωσιν ἀθαρέτων τιμῶν τοῦ βαθμοῦ κόρου τῆς μεταβάσεως, τῶν σταθερῶν ἀποσβέσεως τῶν σταθμῶν ἐνεργείας καὶ τῶν συχνοτήτων τοῦ κύματος καὶ τῶν φασματικῶν γραμμῶν, εἶναι δυνατή μόνον μὲ ἡλεκτρονικὸν ὑπολογιστήν. ‘Αναλυτικαὶ λύσεις μὲ προσεγγιστικάς μεθόδους εἶναι δυναταὶ μόνον εἰς τινας ἀπλᾶς περιπτώσεις.

Τὸ βύθισμα Lamb εἶναι βαθύτερον καὶ στενώτερον εἰς λάζερ μεγάλης ισχύος, εἰς λάζερ δὲ μὲ ἀερίον ὑπὸ μικρὰν πίεσιν τὸ πλάτος τοῦ βυθίσματος εἶναι τὸ μικρὸν ὄμοιγενὲς πλάτος. ‘Ως ἐκ τούτου ἡ θέσις του προσδιορίζει μὲ ἀκριβειαν τὴν συχνότητα τῆς φασματικῆς γραμμῆς μὲ τὴν ὅποιαν συντονίζεται ἡ συχνότης τοῦ κύματος τοῦ λάζερ. ’Εὰν τὸ ἀερίον εἰς λάζερ ρυθμίζομένης συχνότητος εἶναι μῖγμα δύο ίσοτόπων, εἶναι δυνατὸν διὰ ρυθμίσεως τῆς ίδιοσυχνότητος τοῦ ἀντηχείου νὰ συμπέσῃ ἡ ἐκπομπὴ τοῦ λάζερ διαδοχικῶς μὲ τὴν κυρίαν συχνότητα τοῦ ἐνδὸς ἡ τοῦ ἄλλου ίσοτόπου καὶ νὰ μετρηθῇ οὕτως ἡ μεταξὺ τῶν δύο διαφορά, ἡ καλούμενη «ίσοτοπικὴ μετατόπισις», ἡ πρώτη δὲ ἐφαρμογὴ τοῦ βυθίσματος Lamb ἦτο δ ἀκριβῆς προσδιορισμὸς τῆς μικρᾶς ίσοτοπικῆς μετατοπίσεως τῶν γραμμῶν τῶν ίσοτόπων τοῦ Ne¹³ καὶ μεταγενεστέρων τοῦ Xe¹³.

Τὸ ἀντίστροφον φαινόμενον, δηλαδὴ αἰχμὴ ἀντὶ βυθίσματος εἰς τὴν κεν-

τρικήν συχνότητα τῆς ἀκτινοβολίας τοῦ λάζερ, παρατηρεῖται δταν τὸ κῦμα διαδίδεται ἐντὸς ἀερίου ὑπὸ μικρὰν πίεσιν, εύρισκομένου εἰς κατάστασιν ἀπορροφήσεως (σχ. 8). 'Η αἰχμὴ σημαίνει οὐσιωδῶς ἐλάττωσιν τῆς ἀπορροφήσεως τῆς ἀκτινοβολίας λάζερ ὑπὸ τοῦ ἀερίου εἰς στενήν περιοχὴν συχνοτήτων, δφειλομένην εἰς τὴν ἐκλεκτικὴν διέγερσιν τῶν μορίων τοῦ ἀερίου μὲ τὰ ὅποια συντονίζεται ἡ κεντρικὴ συχνότης τῆς ἀκτινοβολίας λάζερ διὰ ρυθμίσεως τοῦ ἀντηχείου.

Τὸ ἀντίστροφον φαινόμενον Lamb παρετηρήθη διὰ πρώτην φορὰν εἰς τὴν ἐκπομπὴν λάζερ He - Ne ἐντὸς τοῦ ὅποιου εύρισκετο κυψελὶς μὲ Ne ὑπὸ μικρὰν πίεσιν¹⁴. Εἰς τὴν φασματοσκοπικὴν ἔρευναν ἐφαρμόζεται κυρίως τὸ ἀντίστροφον φαινόμενον Lamb διότι δ’ αὐτοῦ ἐπιτυγχάνεται στενώτερος συντονισμός. Πράγματι τὸ πλάτος τοῦ βυθίσματος εἰς γραμμὴν ἀπορροφήσεως, ἀρα καὶ τῆς αἰχμῆς εἰς τὴν ἔντασιν τῆς δέσμης λάζερ ἡ ὅποια διέρχεται διὰ τοῦ ἀπορροφοῦντος ἀερίου, εἶναι δυνατὸν νὰ γίνη κατὰ 10^2 ἕως 10^3 φορὰς μικρότερον τοῦ βυθίσματος τῆς γραμμῆς ἐκπομπῆς. Τοῦτο διότι ἡ ἀπορροφήσις εἶναι δυνατὸν νὰ γίνη ἀπὸ τὴν βασικὴν στάθμην, ἡ ἀπὸ γειτονικὴν τῆς, εἰς ἀνωτέραν στάθμην μακροῦ χρόνου ζωῆς καὶ νὰ δώσῃ ἐπομένως γραμμὴν μικροῦ πλάτους, συμφώνως πρὸς τὴν σχέσιν ἀπροσδιοριστίας Δν $\Delta t \approx 1$. 'Επι πλέον, ὡς ἔκ τοῦ μεγάλου ἀριθμοῦ τῶν ἀτόμων τῆς βασικῆς στάθμης, ἡ ἀπορροφήσις εἶναι ἰσχυρὰ ἀκόμη καὶ δταν τὸ ἀέριον λαμβάνεται ὑπὸ πολὺ μικρὰν πίεσιν. Τοῦτο ἀφ’ ἔνδει εύνοεῖ τὴν ἀποφυγὴν διαπλατύνσεως τῶν γραμμῶν ἐκ τῶν μοριακῶν κρούσεων καὶ καθιστᾶ ἐξ ἄλλου δυνατὴν τὴν ἔρευναν μὲ πολὺ μικρὰν ποσότητα τοῦ ὑλικοῦ, δυνατότητα σημαντικὴν διὰ σπανίας οὖσας.

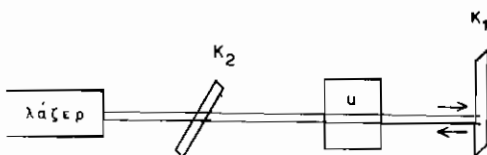
Τὸ ἀντίστροφον φαινόμενον Lamb ἥρχισεν εὐθὺς μετὰ τὴν πρώτην παρατήρησίν του νὰ ἐφαρμόζεται εἰς φασματοσκοπίαν ὑψηλῆς διακριτικῆς ἵκανότητος μὲ μεγάλην ἐπιτυχίαν, περιωρίζετο δμας ἀρχικῶς κατ’ ἀνάγκην εἰς τὴν ἔρευναν τῶν φασμάτων ἀτόμων τῶν ὅποιων αἱ συχνότητες συνέβαινε νὰ συμπίπτουν μὲ τὴν συχνότητα τῶν γνωστῶν τότε, μὴ ρυθμιζομένης συχνότητος, λάζερ ἀερίων. Μὲ τὴν εὑρεσιν τῶν λάζερ βαφῆς, τῶν ὅποιων εἶναι δυνατὴ ἡ ρύθμισις τῆς συχνότητος, διηγρύνθησαν αἱ δυνατότητες ἔρευνης καὶ παρήγθησαν ἐξαιρετικῶς λεπταὶ γραμμαὶ συντονισμοῦ.

Αἱ πειραματικαὶ συνθῆκαι εἶναι εύνοϊκώτεραι δταν ἡ κυψελὶς μὲ τὸ ἀέριον εύρισκεται ἐκτὸς τοῦ λάζερ, διότι οἵτως εἶναι δυνατὴ ἡ λῆψις τοῦ ἀερίου ὑπὸ διατόρους πιέσεις, ἀποφεύγεται δὲ ἐξ ἄλλου ἡ ἐπίδρασις τῆς κορεσμένης ἀπορροφήσεως ἐπὶ τῆς ἐκπομπῆς τοῦ λάζερ.

Mέθοδος Bordé.

Πολὺ ἀπλῆ καὶ ἐξαιρετικῶς εύαισθητος μέθοδος διὰ τῆς ὅποιας παρε-

τηρήθησαν διὰ πρώτην φοράν μὴ γραμμικοὶ στενοὶ συντονισμοὶ εἰς γραμμὰς μὲ διαπλάτυνσιν Doppler εἶναι: ἡ μέθοδος Berdé^{15·16}. Εἰς τὴν μέθοδον Bordé χρησιμοποιοῦνται δύο κατ' ἀντίθετον φοράν προχωροῦντα κύματα, ἐν ἴσχυρὸν καὶ ἐν ἀσθενές, τῆς αὐτῆς συχνότητος, περιλαμβανομένης εἰς τὸ φάσμα τοῦ ἔξεταζομένου ἀερίου. Τὸ ἴσχυρὸν κύμα διεγέρει τὰ μόρια τοῦ ἀερίου, τὰ ὅποια ἔχουν τὴν δυνατότητα συντονισμοῦ μὲ αὐτό, (ἔχουν δηλ. τὴν δυνατότητα ἐκπομπῆς τῆς αὐτῆς συχνότητος) μέχρι κορεσμοῦ τῆς ἀνωτέρας στάθμης, ἐλαττώνει ἐπομένως ἴσχυρῶς τὴν ἀπορροφητικὴν ἵκανότητα τοῦ ἀερίου εἰς ὥρισμένην, στενὴν περιοχήν, συχνοτήτων. Τὸ ἀσθενές κύμα, καλούμενον κύμα ἐλέγχου, ἐλέγχει τὴν ἐπίδρασιν τοῦ ἴσχυροῦ, ὑφιστάμενον εἰς τὴν περιοχὴν αὐτὴν τῶν συχνοτήτων ἀσθενῆ ἀπορρόφησιν. "Οταν ἡ συχνότης τοῦ ἴσχυροῦ κύματος συμπέσῃ μὲ τὴν κυρίαν συχνότητα ως γραμμῆς Doppler τοῦ ἀερίου, ἡ ἀπορρόφησίς του εἰς τὴν συχνότητα σύντην θὰ γίνη ἐλαχίστη καὶ ἡ καμπύλη τῆς ἐντάσεως τοῦ κύματος ἐλέγχου συναρτήσει τῆς συχνότητος θὰ παρουσιάσῃ εἰς ως λίαν στενὴν αἰχμὴν ἐκ τῆς ὅποιας προσδιορίζεται ἀκριβῶς ἡ κυρία συχνότης τῆς γραμμῆς.



Σχ. 9

Τὴν πειραματικὴν διάταξιν τῆς μεθόδου Bordé παριστᾶ τὸ σχῆμα 9. Τὸ ἴσχυρὸν κύμα προέρχεται κατ' εὐθείαν ἀπὸ τὸ λάζερ, τὸ δὲ ἀσθενές κύμα ἐλέγχου λαμβάνεται ἀπὸ τὴν δέσμην τοῦ λάζερ μετὰ τὴν ἔξοδόν της ἀπὸ τὴν κυψελίδα u μὲ τὸ ἀέριον, δι' ἀποχωρισμοῦ ἀσθενοῦς δέσμης, ἡ ὅποια ἀφοῦ ἀνακλασθῇ ἐπὶ τοῦ κατόπτρου K_1 διέρχεται πάλιν διὰ τοῦ ἀερίου κατ' ἀντίθετον φοράν καὶ ἀνακλωμένη εἰς τὸ κατόπτρον K_2 εἰσέρχεται εἰς τὸν φωρατὴν π.χ. εἰς συμβολόμετρον Fabry - Perot.

"Η μέθοδος Bordé ἐφαρμόζεται ἀκόμη πολλαπλῶς μὲ μεγάλην ἐπιτυχίαν εἰς τὴν μοριακὴν φασματοσκοπίαν. Φασματικὴ γραμμὴ Doppler, περιλαμβάνουσα ἐντὸς τοῦ πλάτους της πολλὰς γειτονικὰς συνιστώσας αἱ ὅποιαι δὲν διαχωρίζονται διὰ τῶν μεθόδων τῆς συμβατικῆς φασματοσκοπίας, ἐμφανίζεται εἰς τὴν διάταξιν Bordé ὡς σύνολον διαχωρισμένων γραμμῶν, πλάτους δλίγων MHz ἐκάστη τῶν ὅποιων εὑρίσκεται εἰς τὸ κέντρον ἐκάστης διαπλατυσμένης ἐκ τοῦ φαινομένου Doppler, συνιστώσης. Νεώτεραι ἔρευναι τῶν Hall καὶ Bordé εἰς τὸ μεθάνιον ἀπεκάλυψαν πλὴν τῆς ὑπερλεπτῆς μοριακῆς

διασπάσεως καὶ διάσπασιν διφειλομένην εἰς τὸν ἀνατροχισμὸν τῶν μορίων κατὰ τὴν ἀπορρόφησιν ή τὴν ἐκπομπὴν ὑπερύθρων φωτονίων. Ἡ διακριτικὴ ἕκανότης εἰς τὰς ἔργασίας αὐτὰς ἔφθασεν εἰς 5×10^{10} .

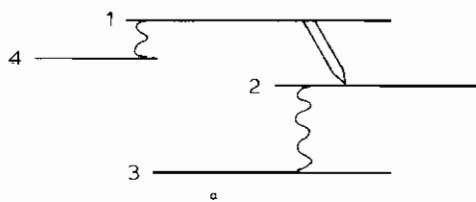
Φασματοσκοπία συνεζευγμένων μεταβάσεων (T.L.S.)

Μειονέκτημα τῶν μεθόδων εἰς τὰς ὁποίας ἔφαρμόζεται τὸ βύθισμα Lamb εἶναι ἡ ἀνάγκη ἴσχυροῦ συντελεστοῦ ἐνισχύσεως (ἢ ἀπορροφήσεως) τῆς κβαντικῆς μεταβάσεως ἢ δοπία ἀντιδρᾶ μὲ τὸ κύμα τοῦ λάζερ, διὰ νὰ ἐπέλθῃ ἀνιχνεύσιμος ἐνίσχυσις ἢ ἀπορρόφησις αὐτοῦ. Ὡς ἐκ τούτου δὲν εἶναι ἔφαρμόσιμος εἰς ἀέρια ὑπὸ μικρὰς πιέσεις, συνθήκην ἐν τούτοις ἀπαραίτητον διὰ τὴν ἀποψυγὴν τῆς διαπλατύνσεως τῶν γραμμῶν ἐκ τῶν μοριακῶν κρούσεων.

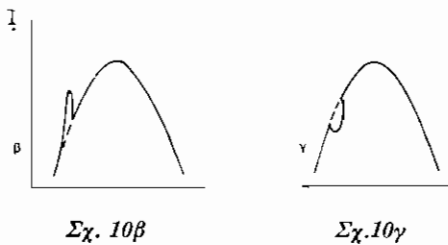
Ἄπο τὸ μειονέκτημα τοῦτο εἶναι ἀπηλλαγμέναι μέθοδοι τῆς φασματοσκοπίας κόρου βασιζόμεναι ἐπὶ τῆς ἐκλεκτικῆς μεταβολῆς τοῦ πληθυσμοῦ τῶν σταθμῶν ἐνεργείας μιᾶς κβαντικῆς μεταβάσεως, διὰ τῆς ἀντιδράσεως αὐτῆς μὲ τὸ ἴσχυρὸν πεδίον τοῦ λάζερ (σελ. 15). Μία τοιαύτη μεταβολὴ εἶναι δυνατὸν νὰ ὀδηγήσῃ κατὰ διαφόρους τρόπους, εἰς σημαντικὴν στένωσιν γραμμῶν Doppler, εἰς «πολὺ στενούς φασματικούς συντονισμούς», κατὰ τὸν καθιερωθέντα δρον.

Ἐστω π.χ. διὰ τὴν κατωτέρα στάθμη 2 τῆς κορεσθείσης διὰ λάζερ μεταβάσεως $1 \rightarrow 2$ (σχ. 10α) εἶναι συγχρόνως ἡ ἀνωτέρα στάθμη αὐτομάτου μεταβάσεως πρὸς τρίτην κατωτέραν στάθμην 3.

Ἡ αὐτόματος ἐκπομπὴ $2 \rightarrow 3$ παρατηρούμενη κατὰ τὸν ἀξονα τῆς δέσμης λάζερ θὰ παρουσιάσῃ ἐπὶ τοῦ ὑποβάθρου τῆς γραμμῆς Doppler λίαν στενὴν πολὺ φωτεινοτέραν περιοχὴν, ὡς ἐκ τοῦ ἐμπλουτισμοῦ τῆς στάθμης 2 διὰ πλήθους ἀτόμων στενῆς περιοχῆς ἀξονικῶν θερμικῶν ταχυτήτων. Ἀντιθέτως δὲ αὐτόματος γραμμῆς προκύπτουσα ἐκ τῆς μεταβάσεως $1 \rightarrow 4$ θὰ παρουσιάσῃ ἴσχυρὰν μείωσιν τῆς ἐντάσεως τῆς εἰς λίαν στενὴν περιοχὴν ὡς ἐκ τῆς ἴσχυρᾶς ἐκλεκτικῆς ἐλαττώσεως τοῦ πληθυσμοῦ τῶν ἀτόμων τῆς στάθμης 1. Εἰς τὴν καμπύλην ἐντάσεως τῆς γραμμῆς $2 \rightarrow 3$ θὰ σημειωθῇ στενὴ αἵχμη (σχ. 10β), ἐνῶ εἰς τὴν καμπύλην ἐντάσεως τῆς $1 \rightarrow 4$ στενὸν βύθισμα (σχ.



Σχ. 10α



10γ) είς τὴν αὐτὴν περιοχὴν συχνοτήτων. Τὰ πλάτη τῶν παραμορφώσεων αὐτῶν εἶναι τῆς τάξεως μεγέθους τοῦ φυσικοῦ πλάτους τῶν γραμμῶν, ὥστε ἔαν, διὰ ρυθμίσεως τῆς συχνότητος τοῦ λάζερ, αἱ παραμορφώσεις συμπέσουν μὲ τὰς κεντρικὰς συχνότητας τῶν γραμμῶν 2→3 ή 1→4 δίδουν τὴν δυνατότητα τοῦ ἀκριβοῦ προσδιορισμοῦ αὐτῶν. Ἐξ ἀλλου ή στένωσις τῶν γραμμῶν ἐπιτρέπει τὸν σαφῆ διαχωρισμὸν ἐνδεχομένως ὑπαρχουσῶν λίαν γειτονικῶν γραμμῶν, ὡς π.χ. εἰς τὰς περιπτώσεις στοιχείου - μίγματος ἴσοτόπων ή γραμμῶν μὲ λεπτὴν καὶ ὑπερλεπτὴν δομήν. Τὸ σύστημα τῶν τριῶν σταθμῶν τοῦ σχ. 10α λέγεται «σχηματισμὸς καταρράκτου» καὶ ἀποτελεῖ μερικὴν περίπτωσιν δύο μεταβάσεων συνεζευγμένων διὰ κοινῆς στάθμης. Ἀλλοι δυνατοὶ σχηματισμοὶ εἶναι οἱ «πτυχωτοί» μὲ κοινὴν τὴν κατωτέραν (σχ. 11α) ή τὴν ἀνωτέραν (σχ. 11β) στάθμην.

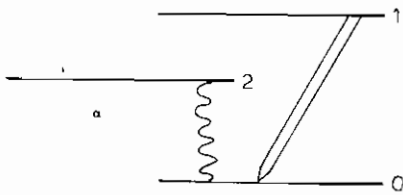
Τὴν αὐτὴν ἐπίδρασιν ἔχει τὸ πεδίον τοῦ λάζερ καὶ ἐπὶ ἐξηναγκασμένων συνεζευγμένων μεταβάσεων, διεγειρομένων δι' ἀσθενοῦς μονοχρωματικοῦ κύματος τῆς αὐτῆς διευθύνσεως πρὸς τὸ κῦμα τοῦ λάζερ. Ἐπομένως ἔχει εύρυ πεδίον ἐφαρμογῆς εἰς αὐτομάτους καὶ ἐξηναγκασμένας μεταβάσεις.

Ἡ φασματοσκοπικὴ ἔρευνα συνεζευγμένων μεταβάσεων λέγεται φασματοσκοπία διὰ συστήματος τριῶν σταθμῶν καὶ συμβολίζεται διὰ τῶν γραμμάτων T.L.S., ἀρχικῶν τῶν λέξεων Three Levels System, εἰδικῶς δὲ εἰς τὴν περίπτωσιν τῆς ἔρευνης ἐξηναγκασμένων μεταβάσεων λέγεται μέθοδος διὰ δύο πεδίων ή φασματοσκοπία διπλοῦ συντονισμοῦ.

Ἡ φασματοσκοπία T.L.S. ἐφαρμόζεται ἀπὸ ἑταῖρον εἰς τὰς περιοχὰς τῶν ραδιοκυμάτων καὶ τῶν μικροκυμάτων εἰς τὰς δόποιας ἔγιναν αἱ πρώται πειραματικαὶ ἔρευναι τῆς ὑπερλεπτῆς δομῆς μοριακῶν φασμάτων περιστροφῆς, ἐνῶ εἰς τὴν ὀπτικὴν καὶ τὴν ὑπέρυθρον περιοχὴν κατέστη δυνατὸν νὰ ἐφαρμοσθῇ μόνον μετὰ τὴν ἐμφάνισιν τοῦ λάζερ.

Διὰ τῆς μεθόδου TLS προέκυψαν νέα φαινόμενα μεγάλου ἐνδιαφέροντος δι' ἔρευναν λίαν ὑψηλῆς διακριτικῆς ἵκανότητος.

Αἱ μέθοδοι πειραματικῆς ἔρευνης εἰς συστήματα TLS δύνανται νὰ καταταγοῦν εἰς τὰς ἐξῆς τρεῖς δομάδας:



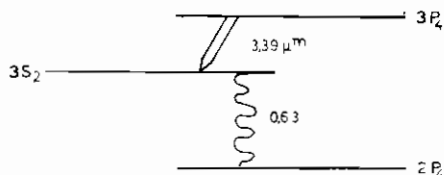
Σχ. 11α



Σχ. 11β

α. Ἐξέτασις αὐτομάτου γραμμῆς ἀερίου παρουσίᾳ ἵσχυροῦ ἐξωτερικοῦ φωτείνου πεδίου, ἵσχυρᾶς δέσμης λάζερ. Ἡ ἀπλουστέρα περίπτωσις εἶναι ἡ τῆς αὐτομάτου συνεζευγμένης, ἔξερχομένης ἐξ αὐτοῦ τούτου τοῦ λάζερ. Κατάλληλος ἡθμὸς ἐπιτρέπει τὴν εἰσόδον εἰς τὸν φωρατὴν μόνον τῆς αὐτομάτου. Ἡ πρώτη παρατήρησις λεπτῆς δομῆς εἰς αὐτόματον γραμμὴν συνεζευγμένης μεταβάσεως ἐγένετο ὑπὸ τῶν Bennet, Chebotayev καὶ τῶν συνεργατῶν των¹⁸ εἰς τὴν γραμμὴν $3S_2 \rightarrow 2P_4$ ($\lambda = 0,63\mu m$) τοῦ ^{21}Ne , συνεζευγμένην μὲ τὴν $3S \rightarrow 3P$ ($\lambda = 3,39\mu m$) τοῦ λάζερ He - Ne (σχ. 12). Τὴν πρώτην παρατήρησιν ἐπηκολούθησε πλῆθος θεωρητικῶν καὶ πειραματικῶν ἐργασιῶν, εἰς τὰς δοποίας διεχωρίσθησαν γραμμαὶ προερχόμεναι ἀπὸ στάθμας ἐνεργείας σχεδὸν ἀλληλοκαλυπτομένας, ἀνελύθησαν αἱ λεπταὶ καὶ ὑπερλεπταὶ συνιστῶσαι αὐτῶν¹⁹ ἔξητάσθησαν ἐπιδράσεις ἡλεκτρικῶν καὶ μαγνητικῶν πεδίων ἐπὶ τῆς δομῆς τῶν σταθμῶν ἐνεργείας (φαινόμενα Stark καὶ Zeeman) καὶ προσδιωρίσθησαν μὲ ἀκρίβειαν αἱ ἡλεκτρικαὶ τετραπολικαὶ καὶ αἱ μαγνητικαὶ διπολικαὶ ροπαὶ τῶν ἀτομικῶν πυρήνων.

β. Ἐξέτασις ἔξηργακασμένων μεταβάσεων. Μέθοδος διπλοῦ συντονισμοῦ ἢ διὰ δύο πεδίων. Εἰς τὴν μέθοδον «διὰ δύο πεδίων» ἵσχυρὸν πεδίον λάζερ προκαλεῖ μεταβολὴν κβαντικῆς μεταβάσεως, ἐλεγχομένην ἀπὸ δεύτερον, ἀσθενὲς πεδίον, τὸ «πεδίον ἐλέγχου». Εστω π.χ. τὸ ζεῦγος τῶν συνεζευγμένων μεταβάσεων $1 \rightarrow 0$ καὶ $2 \rightarrow 0$ (σχ. 13) μὲ κοινὴν τὴν κατωτέραν στάθμην 0 καὶ μικρὰν διαφορὰν τῶν ἀνωτέρων 1 καὶ 2, τόσην ὥστε αἱ ἐκ τῶν δύο μεταβάσεων προκύπτουσαι γραμμαὶ Doppler τῶν δοποίων αἱ κεντρικαὶ συχνότητες εἶναι ω_1

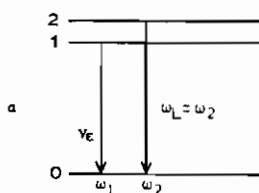


Σχ. 12

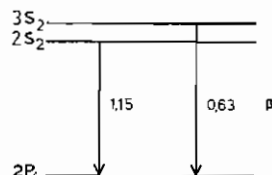
καὶ ω_2 , καλύπτονται σχεδόν ἀμοιβαίως. Ἐπὶ τοῦ συστήματος ἐπιδρᾶ ἀφ' ἐνὸς Ἰσχυρὸν προχωροῦν κῦμα λάζερ, συχνότητος ν , γειτονικῆς τῆς ω_2 καὶ ἀφ' ἐπέρου ἀσθενὲς προχωροῦν κῦμα, τὸ κῦμα ἐλέγχου, συχνότητος ρυθμιζομένης περὶ τὴν περιοχὴν τῆς ω_1 . Τὸ Ἰσχυρὸν κῦμα τοῦ λάζερ ἀποδιεγείρει ἐκλεκτικῶς μέγα πλῆθος ἀτόμων στενῆς περιοχῆς ἀξονικῶν ταχυτήτων τῆς στάθμης 2, προκαλοῦν οὕτω τὸν κορεσμὸν τῆς μεταβάσεως $2 \rightarrow 0$. Ἀποτέλεσμα τῆς Ἰσχυρᾶς αὐτῆς αὐξήσεως τοῦ πλήθους τῶν ἀτόμων στενῆς περιοχῆς ἀξονικῶν ταχυτήτων εἰς τὴν στάθμην 0, εἶναι ἡ ἐλάττωσις τῆς ἐντάσεως τῆς γραμμῆς Doppler $1 \rightarrow 0$ εἰς τὴν στενὴν αὐτὴν περιοχήν. Ἡ θέσις τοῦ στενοῦ σήματος τῆς μεταβολῆς αὐτῆς εἰς τὴν καμπύλην ἐντάσεως τῆς γραμμῆς ἔξαρτᾶται ἐκ τῆς σχετικῆς διευθύνσεως τῶν δύο κυμάτων, δρίζεται δὲ ὡς ἐξῆς: Τὸ πέδιον τοῦ λάζερ θὰ ἀντιδράσῃ μὲ τὰ ἀτομα τὰ δύοντα εἶναι ἵκανα νὰ μεταφέρουν διὰ τοῦ φαινομένου Doppler τὴν συχνότητά του ν πλησίον τῆς ω_2 κατὰ προσέγγισιν τοῦ φυσικοῦ πλάτους τῆς γραμμῆς $2 \rightarrow 0$, ἡ κεντρικὴ ἀξονικὴ ταχύτης τῶν δύοντων εἶναι (εξ. 7):

$$v_x = \frac{\nu - \omega_2}{K_2} \quad \left(K_2 = \frac{\omega_2}{c} \right) \quad 8$$

Ἐὰν τὸ κῦμα ἐλέγχου ἔχει τὴν αὐτὴν διεύθυνσιν μὲ τὸ Ἰσχυρὸν κῦμα καὶ ρυθμισθῇ ἡ συχνότης του εἰς ω' , οὕτως ὥστε ἡ κεντρικὴ τιμὴ τῆς περιοχῆς τῶν ἀξονικῶν ταχυτήτων τῶν ἀτόμων μὲ τὰ δύοντα ἀντιδρᾶ νὰ συμπίπτει



Σρ. 13α



Σχ. 13β

μὲ τὴν ν_x, θὰ εἶναι:

$$\frac{v - \omega_2}{K_2} = \frac{\omega'_+ - \omega_1}{K_1} \quad \left(K_1 = \frac{\omega_1}{c} \right) \quad 9$$

Τὸ σημεῖον + σημαίνει δτι τὰ δύο κύματα ἔχουν τὴν αὐτὴν κατεύθυνσιν. Ἐπει-
δὴ ὑπετέθη $\omega_1 \approx \omega_2$ θὰ εἶναι καὶ $K_1 \approx K_2$. ὥστε ἡ 9 καταλήγει εἰς τὴν:

$$\omega_1 - \omega_2 = \omega'_+ - v \quad 10$$

Ἐὰν τὰ δύο κύματα ἔχουν ἀντίθετον κατεύθυνσιν προκύπτει:

$$\omega_1 + \omega_2 = v + \omega'_-$$

Ἐκ τῶν σχέσεων προσδιορίζεται ἡ μικρὰ διαφορὰ τῶν δύο γειτονικῶν συχ-
νοτήτων ω_1 καὶ ω_2 δταν ρυθμισθῆ ἡ συχνότης τοῦ κύματος ἐλέγχου ὥστε
νὰ συμπέσῃ μὲ τὴν κορυφὴν τοῦ συντονιστικοῦ ἐλαχίστου τῆς γραμμῆς
 $1 \rightarrow 0$. Ἐκ τῶν αὐτῶν σχέσεων προσδιορίζεται ἐπίσης μὲ ἀκρίβειαν ἡ συχ-
νότης ω_1 .

$$\omega_1 = \frac{\omega'_+ + \omega'_-}{2} \quad 12$$

Συμφώνως πρὸς τὴν σχέσιν αὐτὴν ἡ κεντρικὴ συχνότης τῆς μεταβάσεως $1 \rightarrow 0$
εὑρίσκεται ἀκριβῶς εἰς τὸ μέσον τῶν δύο σημάτων συντονισμοῦ τὰ δποῖα
λαμβάνονται διὰ τοῦ κύματος ἐλέγχου, διαδιδομένου α) κατὰ τὴν κατεύθυνσιν
τοῦ ἴσχυροῦ κύματος καὶ β) κατὰ τὴν ἀντίθετον κατεύθυνσιν. Τὰ δύο σήματα
εἶναι δυνατὸν νὰ ληφθοῦν συγχρόνως διὰ στασίμου κύματος, δημιουργουμέ-
νου δι' ἀνακλάσεως τμήματος τῆς δέσμης λάζερ ἐπὶ κατόπτρου (μέθοδος
Bordé).

Σημειωτέον δτι αἱ μεταβολαὶ εἰς τὸ σχῆμα τῆς καμπύλης ἐξηναγκα-
σμένης μεταβάσεως ἐκ τῆς ἐπιδράσεως ἴσχυροῦ κύματος λάζερ δὲν καθορί-
ζονται ἀπλῶς ἀπὸ τὴν μεταβολὴν τοῦ πληθυσμοῦ τῶν σταθμῶν ἐνεργείας.
Παρουσιάζονται ἰδιορυθμίαι, προβλεπόμεναι ὑπὸ τῆς θεωρίας, ως π.χ. ἡ ἐξῆς
ἀσυμμετρία εἰς τὰ πλάτη τῶν δύο σημάτων: "Οταν τὰ δύο κύματα ἔχουν
τὴν αὐτὴν κατεύθυνσιν τὸ πλάτος γ_+ τοῦ σήματος εἶναι $\gamma_+ = \frac{\gamma_1 + \gamma_2}{2}$,
δπου γ_1, γ_2 εἶναι τὰ φυσικὰ πλάτη τῶν σταθμῶν 1 καὶ 2, ἀνεξάρτητον τοῦ
πλάτους γρ τῆς κοινῆς στάθμης, ἐνῶ δταν αἱ κατεύθυνσις τῶν δύο κυμάτων

είναι άντιθετοι τὸ πλάτος τοῦ σήματος είναι

$$\gamma = \gamma_1 + \gamma_2 + 2\gamma_0,$$

γενικῶς μεγαλύτερον τοῦ $\gamma +$, πλὴν περιπτώσεων τινῶν κατὰ τὰς δόποιας είναι δυνατόν νὰ γίνη άντιθέτως μικρότερον αὐτοῦ.

‘Η πρώτη έφαρμογὴ τῆς μεθόδου τοῦ διπλοῦ συντονισμοῦ ἔγινεν εἰς τὴν ἔρευναν τῆς ἔξηναγκασμένης ἐκπομπῆς

$$2S_2 \rightarrow 2P_4 \ (\lambda = 1,15 \text{ μμ}) \text{ τοῦ λάζερ He - Ne,}$$

ρυθμιζομένης συχνότητος, διεγειρομένου δι’ δόπτικῆς άντλήσεως μὲ δλλο λάζερ τριῶν σταθμῶν, ἐκπέμπον τὴν γραμμὴν

$$3S_2 \rightarrow 2P_4 \ (\lambda = 0,63 \text{ μμ}),$$

ἔχουσαν μὲ τὴν 1,15 κοινὴν τὴν κατωτέραν στάθμην $2P_4$ (σχ. 13β).

γ. Διασταύρωσις τῶν τρόπων. Παραλλαγὴ τῆς μεθόδου διὰ δύο πεδίων είναι ἡ μεθόδος τῆς διασταύρωσεως τῶν τρόπων, ἐφαρμόζεται δὲ εἰς συνεζευγμένας μεταβάσεις πτυχωτοῦ σχηματισμοῦ εἰς τὰς δόποιας ἡ διαφορὰ τῶν δύο μὴ κοινῶν σταθμῶν είναι πολὺ μικρά. Διὰ τὴν διέγερσιν τῶν δύο μεταβάσεων μέχρι κορεσμοῦ χρησιμοποιοῦνται εἴτε δύο ίσχυρὰ μονοχρωματικὰ λάζερ μὲ μικρὰ διαφορὰν συχνοτήτων, εἴτε μόνον ἕν, ἐκπέμπον δύο μονοχρωματικάς συνιστώσας (λάζερ δύο τρόπων) μὲ μικρὰς διαφορὰς συχνοτήτων. ‘Οταν ἡ διαφορὰ συχνοτήτων τῶν δύο τρόπων τοῦ λάζερ είναι περίπου ἵση μὲ τὴν διαφορὰν τῶν συχνοτήτων τῶν δύο συνεζευγμένων μεταβάσεων ἐπέρχεται συντονισμός, ἀποτέλεσμα τοῦ δόποιου είναι ἡ στένωσις τῶν φασματικῶν γραμμῶν τῶν ἐκπεμπομένων ἐκ τῶν δύο συνεζευγμένων μεταβάσεων καὶ ὁ σαφῆς διαχωρισμός των κατὰ συνέπειαν. ‘Ο συντονισμὸς ἐπιτυγχάνεται εἴτε διὰ τῆς μεταβολῆς τῶν συχνοτήτων τῶν δύο τρόπων τοῦ λάζερ δι’ ἄλλαγῆς τοῦ μήκους τῆς κοιλότητος - ἀντηχείου τοῦ δργάνου, εἴτε διὰ μεταβολῆς τῆς ἀποστάσεως τῶν σταθμῶν ἐνεργείας τῶν δύο μεταβάσεων διὰ τῆς ἐπιδράσεως μαγνητικοῦ ἢ ἡλεκτρικοῦ πεδίου (φαινόμενα Zeeman ή Stark).

‘Η συνθήκη συντονισμοῦ ἐφ’ ὅσον τὰ δύο κύματα ἔχουν τὴν αὐτὴν κατεύθυνσιν είναι ἡ συνθήκη 10 τῆς προηγουμένης παραγράφου, $\omega_1 - \omega_2 = v - v'$ ἔνθα ν καὶ v' είναι αἱ συχνότητες τῶν δύο τρόπων τοῦ λάζερ.

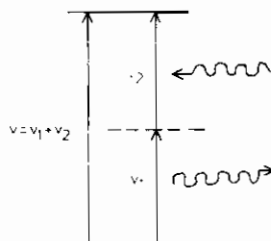
Σημαντικὸν πλεονέκτημα τῆς χρήσεως ἐνδεικτικός λάζερ δύο τρόπων είναι τὸ δτι ἡ συνθήκη συντονισμοῦ είναι ἀνεξάρτητος τῆς ἀπολύτου συχνότητος τοῦ

λάζερ καὶ ὡς ἐκ τούτου δὲν ἐπηρεάζεται ἀπὸ ἐνδεχομένην ἀστάθειαν τῆς λειτουργίας του. Διότι ἡ διαφορὰ συχνοτήτων τῶν δύο τρόπων παραμένει σταθερὰ ἐνῷ αἱ ἀπόλυτοι συχνότητες των δυνατῶν νὰ μεταβάλλωνται.

Φασματοσκοπία διὰ δύο φωτονίων

Νεωτέρα (1970) πολὺ ἀπλῆ μέθοδος διὰ τὸν σχηματισμὸν στενῶν συνισμῶν ἐντὸς γραμμῶν Doppler, στηριζομένη ἐπὶ ἄλλης ἀρχῆς ἀπὸ τὴν φασματοσκοπίαν κόρου καὶ παρουσιάζουσα πολλὰ πλεονεκτήματα ἔναντι αὐτῆς, εἶναι ἡ μέθοδος τῆς διεγέρσεως τῶν ἀτόμων ἀερίου διὰ τῆς συγχρόνου προσλήψεως δύο φωτονίων τῶν δύοιων τὸ ἀθροισμα τῶν ἐνεργειῶν ἰσοῦται ἀκριβῶς μὲ τὴν διαφορὰν ἐνεργειάς τῶν δύο σταθμῶν τῆς ἐξεταζομένης μεταβάσεως. "Οταν τὰ δύο φωτόνια προέρχονται ἀπὸ δύο κατ' ἀντίθετον φοράν προχωροῦντα μονοχρωματικὰ κύματα, ἡ ἀπὸ στάσιμον κῦμα, αἱ μεταβάσεις τῶν συχνοτήτων των ἐκ τοῦ φαινομένου Doppler ἀντισταθμίζονται ἀμοιβαίως ὡς ἵσαι κατ' ἀπόλυτον τιμὴν καὶ ἀντιθέτου φορᾶς. Αἱ συχνότητες των v_1, v_2 , μετατίθενται εἰς $v_1 + Kv_x$, $v_1 - Kv_x$ ($K = \frac{v}{c}$) (σχ. 14α) ἢ $\Delta v = 0$.

'Εξ ἄλλου κατὰ τὴν σύγχρονον ἀπορρόφησιν δύο φωτονίων παρετηρήθη νέον



Σχ. 14α

φαινόμενον, ἀγνωστὸν εἰς τὴν γραμμικὴν φασματοσκοπίαν, ἡ πρόσθεσις συχνοτήτων. Πράγματι ἡ διλικὴ ἐνέργεια τὴν δύοιαν προσλαμβάνει τὸ ἀτόμον ἐκ τῆς ἀπορροφήσεως δύο φωτονίων μὲ τὰς συχνότητας v_1, v_2 εἶναι $E = hv_1 + hv_2$. 'Επομένως ἡ συχνότης τῆς γραμμῆς ἐκ τῆς μεταβάσεως τοῦ ἀτόμου ἀπὸ μίαν στάθμην εἰς ἄλλην, ἡ μεταξὺ τῶν δύοιων διαφορὰ ἐνεργειάς εἶναι ἀκριβῶς ἵση πρὸς E , εἶναι $\frac{E}{h} = v_1 + v_2$. "Οταν τὰ δύο φωτόνια προέρχονται ἀπὸ στάσιμον κῦμα, συχνότητος v , τὸ ἀτόμον προσλαμβάνει ἐνέργειαν $h(2v)$ διὰ φωτονίων συχνότητος v . Σημειώτεον δτὶ ἡ δυνατότης διεγέρσεως ἀτόμων ἀπὸ τὴν βασικὴν στάθμην εἰς ἀνωτέραν διὰ τῆς συγχρόνου ἀπορρο-

φήσεως δύο φωτονίων τῶν δόποίων ἡ συνολική ἐνέργεια ἴσουται ἀκριβῶς μὲ τὴν διαφορὰν ἐνεργείας τῶν δύο σταθμῶν εἰχε μελετηθῆ θεωρητικῶς πρὸ ἡμίσεως αἰώνος^{18·20}, ἀλλ' ἡ πειραματικὴ διερεύνησις τοῦ φαινομένου εἰς τὴν ὁρατὴν περιοχὴν²¹ καὶ ἡ ἐφαρμογὴ του ἐν συνεχείᾳ εἰς τὴν ἐπίτευξιν στενῶν συντονισμῶν, ἔγινε μόνον μετὰ τὴν ἐμφάνισιν τοῦ λάζερ κατὰ πρῶτον εἰς τὸ δρατὸν φάσμα τοῦ ἀτόμου του Na^{22,23,24} καὶ εἰς τὸ ὑπέρυθρον τοῦ μορίου CH₃F. "Ηδη ἐφαρμόζεται εὐρύτατα εἰς νέας ἐρεύνας τῆς ἀτομικῆς καὶ τῆς μοριακῆς ὀπτικῆς φασματοσκοπίας.

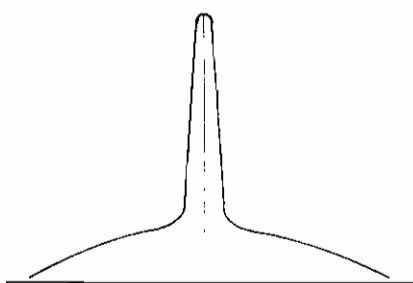
'Η διαπλάτυνσις Doppler ἀποφεύγεται ἐπίσης καὶ κατὰ τὴν διέγερσιν διὰ πολλῶν φωτονίων, ἀρκεῖ ἡ συνισταμένη τῶν ἀξονικῶν ταχυτήτων αὐτῶν $\Sigma(Kv_i)$ νὰ είναι μηδέν²⁵.

'Η φασματοσκοπία διὰ πολλῶν φωτονίων ἔχει σημαντικὰ πλεονεκτήματα ἔναντι τῆς φασματοσκοπίας κόρου δόποιας διαφέρει βασικῶς κατὰ τὸ διὰ δὲν χρειάζεται κορεσμὸν τῶν μεταβάσεων.

Τὰ πλεονεκτήματα αὐτῆς είναι τὰ ἔξης:

α) 'Η συνθήκη $v = v_1 + v_2$ είναι ἀνεξάρτητος τῆς ταχύτητος τῶν ἀτόμων. 'Επομένως εἰς μεταβάσιν ἀπορροφήσεως είναι δυνατὸν νὰ συμμετάσχουν τὰ ἀτομα τῆς βασικῆς στάθμης καὶ δχι μόνον δσα ἐξ αὐτῶν ἔχουν τὴν ἐκλεκτικὴν ταχύτητα συντονισμοῦ ἡ δόποια ἀπαιτεῖται εἰς τὴν φασματοσκοπίαν κόρου. 'Ως ἐκ τούτου διὰ τῆς μεθόδου τῶν δύο φωτονίων θὰ προκύψῃ φασματικὴ γραμμὴ μεγάλης ἐντάσεως χωρὶς διαπλάτυνσιν Doppler, ἔχουσα μόνον τὸ δύογενὲς πλάτος 'Ακριβῶς ἡ ἐμφάνισις τῆς γραμμῆς είναι ἡ ἔξης:

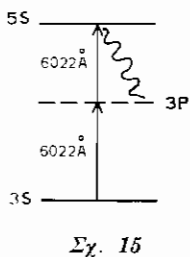
Εἰς τὸ εύρυ χαμηλῆς ἐντάσεως ὑπόβαθρον, τὸ δόποιον προέρχεται ἀπὸ ἔκαστον κῦμα, ἐπιτίθεται στενὸν καὶ ἰσχυρὸν σῆμα συντονισμοῦ, (σχ. 14β) ἵσχυρότερον κατὰ 10^3 ἔως 10^5 τοῦ βυθίσματος Lamb. 'Η μεγάλη αὐτὴ ἵσχυς τοῦ σήματος καθιστᾶ δυνατὸν τὸν πειραματισμὸν μὲ μικρὸν ἀριθμὸν ἀτόμων, ἀκόμη δὲ καὶ μὲ μοριακὰς δέσμας, διότε ἀποφεύγονται σχεδὸν τελείως αἱ μοριακαὶ χρούσεις.



Σχ. 14β

Τύπο όρισμένας συνθήκας είναι άκόμη δυνατὸν νὰ ἔχειψη τελείως τὸ ὑπόβαθρον τῆς γραμμῆς Doppeler, διὰ πειραματισμοῦ μὲ πολωμένον φῶς²⁶ (βλ. σελ. 28).

β) Πολὺ σημαντικὸν πλεονέκτημα τῆς φασματοσκοπίας διὰ δύο ή περισσοτέρων φωτονίων είναι τὸ δτὶ ἰσχύουν κανόνες ἐπιλογῆς διάφοροι ἀπὸ τοὺς ἰσχύοντας εἰς τὴν ἀπορρόφησιν ἐνὸς φωτονίου, ὡστε δὶ' αὐτῆς ἐπιτυγχάνονται μεταβάσεις ἀπηγορευμέναι εἰς τὴν φασματοσκοπίαν δὶ' ἐνὸς φωτονίου, δπως π.χ. τῆς $3S \rightarrow 5S$ τοῦ ἀτόμου Na, ἀπηγορευμένης διότι αἱ δύο στάθμαι είναι τῆς αὐτῆς συμμετρίας (parity) εἰς δὲ τὴν φασματοσκοπίαν δὶ' ἐνὸς φωτονίου ἐπιτρέπονται μεταβάσεις μόνον μεταξὺ στάθμῶν διαφόρου συμμετρίας.



Σχ. 15

γ) Είναι δυνατὴ ή διέγερσις ἀτόμων εἰς ὑψηλὰς στάθμας ἐνεργείας διὰ πολλῶν φωτονίων μικροτέρας ἐνεργείας (ἐπομένως μεγαλυτέρου μήκους κύματος, τοῦ ἐνὸς) τῶν ὅποιων τὸ ἄθροισμα ἐνεργείας ἰσοῦται μὲ τὴν διαφορὰν ἐνεργείας τῆς ὑψηλῆς στάθμης ἀπὸ τῆς βασικῆς. Τοῦτο είναι σημαντικὸν δεδομένου δτὶ τὰ μεγαλυτέρου μήκους κύματος φωτόνια πολλάκις παράγονται καὶ μετροῦνται εὐχερέστερον. Οὕτως είναι δυνατὸν νὰ ἐπεκταθῇ ή ἔρευνα εἰς περιοχὰς μ.κ. διὰ τὰς ὅποιας ὑπάρχουν μόνον λάζερ παλμῶν καὶ ὅχι συνεχοῦς λειτουργίας, συγκεκριμένως τὰς περιοχὰς τοῦ ὑπεριώδους καὶ τοῦ ὑπεριώδους κενοῦ, είναι δὲ προτιμώτερα τὰ λάζερ συνεχοῦς λειτουργίας εἰς τὴν φασματοσκοπίαν ἀπὸ τὰ λάζερ παλμῶν.

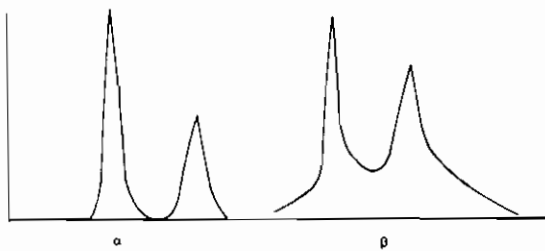
δ) "Ἐν ἀκόμη πλεονέκτημα τῆς μεθόδου διὰ δύο φωτονίων είναι ή δυνατότης χρησιμοποιήσεως φωτεινῶν δεσμῶν μεγάλης τομῆς χωρὶς κίνδυνον αὐξήσεως τοῦ πλάτους τοῦ σήματος συντονισμοῦ, διότι τοῦτο είναι ἀνεξάρτητον τῆς καμπυλότητος τοῦ μετώπου τοῦ διεγείροντος φωτεινοῦ κύματος ἐπειδὴ τὰ δύο φωτόνια ἀπορροφοῦνται συγχρόνως ἀπὸ τὸ αὐτὸ σημεῖον τοῦ χώρου. Παρετηρήθη πράγματι δτὶ δέσμαι μεγάλης τομῆς, μήκους διαδρομῆς ἐνὸς μέτρου προκαλοῦν διαπλάτυνσιν μόλις 100Hz.

Αἱ πρῶται ἔρευναι διὰ τῆς μεθόδου τῶν δύο φωτονίων ἔγιναν εἰς τὸ ἀτόμον τοῦ Na (1974) τοῦ δποίου ἐπετεύχθη ή κατὰ τὴν συμβατικὴν φασματο-

σκοπίαν άπηγορευμένη μετάβασις $3S \rightarrow 5S$ άρχικῶς μὲ παλμοὺς λάζερ βα-
φῆς³⁴ καὶ ἐν συνεχείᾳ μὲ λάζερ συνεχοῦς λειτουργίας²⁷. Ἡ διέγερσις τῶν
ἀτόμων ἐκ τῆς βασικῆς στάθμης $3S$ εἰς τὴν $5S$ ἔγινε διὰ δύο φωτονίων
μ.χ. 6022 Å δὲ ἔλεγχος διὰ τῆς αὐτομάτου ἐκπομπῆς $5S \rightarrow 3\Delta$ ή διὰ τῆς
 $4\Delta \rightarrow 3S$ (σχ. 15).

Ἡ καμπύλη α (σχ. 16) ἐλήφθη μὲ στάσιμον κῦμα, σύνθετον ἐκ δύο ἀν-
τιθέτως προχωρούντων κυμάτων, πολωμένων κυκλικῶς. Χαρακτηριστικὸν
εἶναι διὰ ἐλλείπει τὸ ὑπόβαθρον Doppler, ἐνῶ ὑπάρχει εἰς τὴν καμπύλην β ,
ἡ ὁποίᾳ ἐλήφθη μὲ στάσιμον κῦμα γραμμικῶς πολωμένον. Αἱ δύο αἰχμαὶ
προέρχονται ἀπὸ μεταβάσεις μεταξύ τῶν ὑπερλεπτῶν συνιστωσῶν τῶν σταθ-
μῶν $3S$, $5S^{24, 28, 30}$, ἐκάστη τῶν ὅποιων χωρίζεται εἰς δύο ὑποστάθματα.

Διὰ τῆς αὐτῆς μεθόδου διηρευνήθησαν εἰς τὴν αὐτὴν γραμμὴν τὰ φαι-
νόμενα Zeeman²⁸ καὶ Stark²⁹. Διεπιστώθη ἐπίσης λεπτὴ δομὴ εἰς τὴν γραμ-
μὴν $3S \rightarrow 4D^{23}$ καὶ τὰ φαινόμενα Zeeman³⁰ καὶ Stark³⁹.



Σχ. 16

Ίδιαίτερον ἐνδιαφέρον ἀπὸ θεωρητικῆς ἀπόψεως εἶχεν ἡ διερεύνησις
τῆς λεπτῆς δομῆς τῆς γραμμῆς La τῆς σειρᾶς Lyman τοῦ ἀτόμου H ($\lambda = 1215$ Å), ἡ ὁποίᾳ προκύπτει ἐκ τῆς μεταβάσεως $1S - 2S$. Ἐξ αὐτῆς ἐμε-
τρήθη, πρώτην φορὰν ἀπὸ δύτικὸν φάσμα, ἡ μετατόπισις Lamb τῆς βασικῆς
στάθμης $1S^{31, 32}$ διὰ συγκρίσεως τῆς γραμμῆς La τοῦ H μὲ τὴν He τῆς
σειρᾶς Balmer (βλ. σελ. 41) καὶ ἡ ἴσοτοπικὴ μετατόπισις εἰς τὰ φάσματα
τῶν ἀτόμων H καὶ D³³ καὶ τῶν ^{20}Ne καὶ ^{22}Ne . Ἀνεύθη ἡ ὑπερλεπτὴ δομὴ
τῶν γραμμῶν τοῦ ἴσοτόπου ^{21}Ne καὶ προσδιωρίσθη ἡ τετραπολικὴ ροπὴ τοῦ
πυρῆνος τοῦ³⁴.

Μεγάλη εἶναι ἡ σημασία τῆς μεθόδου τῶν δύο (ἢ πολλῶν) φωτονίων διὰ
τὴν μοριακὴν φασματοσκοπίαν. Ἐφαρμοζομένη π.χ. εἰς ἡλεκτρονικὰς μετα-
βάσεις συμπλόκων μορίων βοηθεῖ εἰς τὴν ἀνάλυσιν τῆς δομῆς μεγάλου ἀριθ-
μοῦ ἀλληλοκαλυπτομένων γραμμῶν Doppler, αἱ ὁποῖαι πολλάκις δίδουν φά-
σμα συνεχές. "Ἐν ἀπὸ τὰ λίαν ἐνδιαφέροντα φαινόμενα ἀπὸ θεωρητικῆς καὶ

πειραματικής άπόψεως είναι ή ύπο μεμονωμένων πολυατομικῶν μορίων, εύρισκομένων ἐντὸς ισχυροῦ πεδίου ὑπερύθρου λάζερ, ἀπορρόφησις ἐντὸς πολὺ μικροῦ χρονικοῦ διαστήματος πολλῶν ὑπερύθρων φωτονίων, ἵκανῶν νὰ προκαλέσουν τὴν διέγερσιν τοῦ μορίου εἰς ὑψηλάς στάθμας ἐνεργείας καὶ τὴν διάσπασίν του. Τὸ ἔξαιρετικῶς ἐνδιαφέρον είναι ή διαπίστωσις διτὶ τὸ φαινόμενον αὐτὸ είναι, υπὸ ὀρισμένας συνθήκας, ίσοτοπικῶς ἐκλεκτικόν, ὡστε εἰς ἀέριον-μῖγμα ίσοτόπων είναι δυνατὸν νὰ ἐπιφέρῃ ἐμπλουτισμὸν τοῦ μίγματος εἰς ὀρισμένα ίσότοπα, δόηγοῦν οὕτω πρὸς νέαν μέθοδον βιομηχανικοῦ διαχωρισμοῦ ίσοτόπων.

’Απὸ θεωρητικῆς ἀπόψεως γεννᾶται τὸ ἔρώτημα κατὰ ποῖον φυσικὸν μηχανισμὸν είναι δυνατὸν ἐν μεμονωμένον μόριον ν’ ἀπορροφήσῃ πολλὰ φωτόνια τῆς αὐτῆς συχνότητος. Διὰ νὰ φθάσῃ τὸ δριον διασπάσεως ἐν μόριον πρέπει ν’ ἀπορροφήσῃ τουλάχιστον μερικὰς δεκάδας ὑπερύθρων φωτονίων συγχρόνως. Τοῦτο θὰ ἀπήτει δέσμην λάζερ ἐντάσεως $10^9 - 10^{10}$ W/cm². ’Εν τούτοις διεπιστώθῃ τὸ ἔκπληκτικὸν γεγονός τῆς πολυφωτονικῆς διασπάσεως μὲν δέσμην λάζερ ἐντάσεως μόνον περὶ τὰ 20MW/cm². Πολλαὶ θεωρητικαὶ ἔργασίαι ἀναφέρονται εἰς τὴν ἐρμηνείαν τοῦ φαινομένου, ἐν τούτοις δὲν ὑπάρχει ἀκόμη πλήρης θεωρητικὴ ἐρμηνεία δῶν τῶν φαινομένων τὰ διποῖα παρατηροῦνται κατὰ τὴν πολυφωτονικὴν διέγερσιν καὶ διάσπασιν πολυατομικῶν μορίων. Πρόσφατα πειραματικαὶ ἔργασίαι, γενόμεναι κυρίως μὲ διαστάμρωσιν μοριακῶν δεσμῶν μὲ δέσμην λάζερ πρὸς ἀποφυγὴν τῆς ἀσφείας τὴν ὅποιαν θὰ προεκάλουν αἱ μοριακαὶ κρούσεις, παρέχουν συμπληρωματικὰς πληροφορίας πρὸς ὑποβοήθησιν τῆς διατυπώσεως μιᾶς πλήρους θεωρίας³⁸⁻⁴¹.

Κροσσοί Ramsey

Τὸ δριον τῆς διακριτικῆς ἵκανότητος τῆς διὰ δύο φωτονίων φασματοσκοπικῆς μεθόδου ἔξαρταται κατ’ ἀρχὴν μόνον ἀπὸ τὰ φυσικὰ πλάτη τῶν δύο σταθμῶν ἐνεργείας ἐκ τῆς μεταξὺ τῶν διποίων μεταβάσεως προκύπτει ή ἔξεταζομένη φασματικὴ γραμμή. ’Επομένως ή μέθοδος αὐτῇ ἐπιτυγχάνει κατ’ ἀρχὴν τὸ φυσικὸν δριον τῆς διακριτικῆς ἵκανότητος. ’Εν τούτοις ἡ συνεχίζομένη θεωρητικὴ καὶ πειραματικὴ ἔρευνα ἐστράφη εἰς τὴν ἔξετασιν τῆς σημασίας τὴν διποίαν ἐνδεχομένως θὰ είχον διὰ τὴν τόσον ὑψηλῆς διακριτικῆς ἵκανότητος μέθοδον, δευτερεύοντα αἴτια διαπλατύνσεως, ἀσήμαντα πρὸ τῆς διαπλατύσεως Doppler, καὶ κυρίως ὁ πολὺ μακρὸς χρόνος ἐντὸς τοῦ ὅποιου τὰ διτομα διασχίζουν τὴν δέσμην τοῦ λάζερ, ὡς ἐκ τῆς μεγάλης μέσης ἐλευθέρας διαδρομῆς αὐτῶν εἰς τὰς λίαν μικρὰς πιέσεις ὑπὸ τὰς ὅποιας λαμβάνεται τὸ ἀέριον πρὸς ἀποφυγὴ τῶν μοριακῶν κρούσεων. ’Η ἐκ τοῦ αἵτιου τούτου πολὺ μικρὰ διαπλάτυνσις ὀφείλεται εἰς τὴν ἀρχὴν τῆς ἀπροσδιοριστίας. Πράγματι, ἐφ’ δσον τὰ μόρια τοῦ ἀερίου ἀντιδροῦν μὲ τὴν δέσμην λάζερ μόνον κατὰ τὸ

χρονικὸν διάστημα τὸ δποῖον χρειάζεται διὰ νὰ τὴν διασχίσουν, μόρια κινούμενα καθέτως πρὸς τὴν διεύθυνσιν τῆς δέσμης μὲ τὴν ταχύτητα ν. ἀντιδροῦν μὲ αὐτὴν ἐπὶ χρόνον $\Delta t = \frac{v_0}{a}$. Καὶ ἐπειδὴ, συμφώνως πρὸς τὴν ἀρχὴν τῆς ἀπροσδιοριστίας, εἶναι $\Delta \omega \geq \frac{t}{1\Delta}$, ἐπέρχεται ἀπροσδιοριστία εἰς τὴν συγνότητα, ἥτοι διαπλάτυνσις τῆς γραμμῆς ἵση πρὸς $\Delta \omega = \frac{v_0}{a}$. "Οταν ἡ μέση ἐλευθέρα διαδρομὴ τῶν μορίων εἶναι μικρὰ ἐν σχέσει πρὸς τὴν διαμετρὸν τῆς δέσμης, ὁ χρόνος διασχίσεως τῆς δέσμης αὐξάνεται λόγῳ τῶν μοριακῶν κρούσεων καὶ δὲν ἀποτελεῖ αἰτίαν διαπλατύνσεως τῆς γραμμῆς. Εἰς τὴν πλεσινὴν διαδρομὴν τῶν μορίων λαμβάνεται τὸ ἀέριον διὰ τὴν ἀποφυγὴν τῶν μοριακῶν κρούσεων ἡ μέση ἐλευθέρα διαδρομὴ τῶν μορίων εἶναι πολὺ μεγαλυτέρα τῆς διαμέτρου τῆς δέσμης λάζερ καὶ ὁ χρόνος διασχίσεως τῆς τομῆς αὐτῆς εἶναι πολὺ μικρός. Κατὰ συνέπειαν ἡ ἐξ αὐτοῦ διαπλάτυνσις ἀποφεύγεται, διόπει εἰς τὴν διὰ δύο φωτονίων μέθοδον. Ἐπὶ παραδείγματι διὰ μόρια μεθανίου εἰς τὴν θερμοκρασίαν 300 K εἰς τὴν διαδρομὴν τῆς δέσμης ἐλευθέρα διαδρομὴ εἶναι τῆς τάξεως 10^4 cm/sec , ἡ διαπλάτυνσις ἐκ τῆς σμικρότητος τοῦ χρόνου διασχίσεως δέσμης διαμέτρου ἐνὸς ἑκατοστομέτρου φθάνει εἰς δεκάδας KHz. Τὸ πρόβλημα τῆς ἀποφυγῆς τοῦ εἰδούς αὐτοῦ διαπλατύνσεως τῆς γραμμῆς ἐλύθη μόλις κατὰ τὰ τελευταῖα ἔτη ὑπὸ τοῦ Baklanow⁴² καὶ τῶν συνεργατῶν του, οἱ ὄποιοι ἐφήρμοσαν μέθοδον, χρησιμοποιηθείσαν πολὺ προγενεστέρως ὑπὸ τοῦ Ramsey⁴³ πρὸς ἀντικμετώπισιν τοῦ αὐτοῦ προβλήματος εἰς τὴν φασματοσκοπίαν μικροκυμάτων. Εἰς τὴν μέθοδον Ramsey ἀτομικὴ (ἥ μοριακή) δέσμη διασχίζει διαδοχικῶς δύο ἐγκάρσια στάσιμα κύματα, χωρισμένα εἰς τὸν χῶρον, προερχόμενα ἀπὸ δύο λάζερ, ἀποτελεῖ δὲ οὖσιαδῶς τὴν ἐφαρμογὴν τῆς μεθόδου διὰ δύο φωτονίων, ἐπιδρώντων διαδρομὴν διὰ τὴν συγχρόνως, ἀλλὰ διαδοχικῶς. Διὰ καταλλήλου ρυθμίσεως τῆς σχέσεως τῶν φάσεων τῶν δύο κυμάτων σχηματίζονται διπτικοὶ κροσσοὶ συμβολῆς, ἀντίστοιχοι πρὸς τοὺς κροσσοὺς συμβολῆς τοὺς λαμβανομένους διὰ δύο σχισμῶν. Ἀλλὰ δύο τοπικῶς ἀπέχοντα πεδία λάζερ ἀσκοῦν ἐπὶ τῶν ἀτόμων τὴν αὐτὴν ἐπίδρασιν μὲ δύο χρονικῶς ἀπέχοντας παλμοὺς λάζερ, διότι διαδοχικῶς τῶν κροσσῶν διείλεται εἰς τὴν διαφορὰν φάσεως μὲ τὴν διαδρομὴν τὰ δύο πεδία ἐπιδροῦν ἐπὶ τοῦ αὐτοῦ ἀτόμου. Ἐκ τούτου οἱ ἐρευνηταὶ συνέλαβον τὴν ἰδέαν τῆς λήψεως διπτικῶν κροσσῶν διὰ λάζερ παλμῶν χωρὶς τὴν ἀνάγκην ἀτομικῆς δέσμης. Πρὸς τοῦτο ἡ κυψελὶς μὲ τὸ ἀέριον ἀκτινοβολεῖται διὰ δύο χρονικῶς ἀπεχόντων παλμῶν στασίμου φωτεινοῦ κύματος^{44, 45, 46}. Τὸ στάσιμον κῦμα σχηματίζεται διὰ τῆς ἀνακλάσεως τῶν παλμῶν ἐπὶ κατόπτρου, τοποθετούμενου πλησίον τῆς κυψελίδος μὲ τὸ ἀέριον. Ἔτοι ἀντὶ δύο παλμῶν ἐπιδράση σειρὰ πολλῶν

χρονικῶς ἵσαπεχόντων παλμῶν, ἐπιτυγχάνεται ἀποτέλεσμα ἀντίστοιχον μὲ τὴν περίθλασιν φωτὸς δι’ ὅπτικοῦ φράγματος⁴¹. Συρμὸς Ν παλμῶν μὲ χρονικὴν ἀπόστασιν Τ μεταξύ των, ἀντιστοιχεῖ εἰς ὅπτικὸν φράγμα μὲ Ν σχισμάς, δόλικοῦ πλάτους NT, ἀντιστοιχοῦντος εἰς τὴν δόλικὴν διάρκειαν τοῦ συρμοῦ. Τὸ λαμβανόμενον φάσμα ἀποτελεῖται ἀπὸ Ν λεπτὰς γραμμάς, Ν φοράς στενωτέρας καὶ Ν² φοράς ἐντονωτέρας ἀπὸ τὰς γραμμάς τοῦ φάσματος διὰ δύο παλμῶν.

‘Η διὰ συρμοῦ φωτεινῶν παλμῶν φασματοσκοπία ἐφαρμόζεται μὲ διαφόρους παραλλαγὰς εἰς πολλὰ ἐπιστημονικὰ ἔργαστήρια^{47,48} διὰ τὴν διερεύνησιν προβλημάτων ἀπαιτούντων λίαν ὑψηλὴν διακριτικὴν ἴκανότητα. ‘Η ἰσχυρὰ ἔντασις τοῦ σήματος καθιστᾶ ἐξ ἄλλου δυνατὴν τὴν διέγερσιν ἀτόμων καὶ μορίων εἰς ὑψηλὰς στάθμας ἐνεργείας καὶ τὴν ἐκλεκτικὴν διάσπασιν ἀτόμων καὶ μορίων (ἐκλεκτικὴ φωτοχημεία). ’Ἐπεκτείνει ἐπίσης τὴν δυνατότητα ἐφαρμογῆς τοῦ λάζερ εἰς τὰς περιοχὰς τοῦ ὑπεριώδους καὶ τοῦ ὑπεριώδους κενοῦ διὰ τὰς ὅποιας ὑπάρχουν μόνον λάζερ παλμῶν.

‘Απόλυτος μέτρησις τῆς συχνότητος εἰς τὴν ὅπτικὴν φασματοσκοπίαν

Μετὰ τὴν ἀπαλλαγὴν ἀπὸ τὴν διαπλάτυνσιν Doppler σοβαρὸν πρόβλημα ἀπετέλεσεν ἡ ἀκριβῆς μέτρησις τῆς συχνότητος τῶν φασματικῶν γραμμῶν. Εἰς τὴν συμβατικὴν ὅπτικὴν καὶ ὑπέρυθρον φασματοσκοπίαν ἡ συχνότης τῶν φασματικῶν γραμμῶν ὑπολογίζεται ἐμμέσως ἐκ τῆς σχέσεως $c = \lambda n$, κατόπιν μετρήσεως τοῦ μήκους κύματος διὰ συμβολομετρικῆς συγκρίσεως τῆς ἐξεταζομένης γραμμῆς μὲ γραμμὴν γνωστοῦ μήκους κύματος, λαμβανομένης σταθερᾶς τῆς ταχύτητος c τοῦ φωτὸς εἰς τὸ κενόν. ‘Η ἀκρίβεια τῆς συγκρίσεως μηκῶν κύματος ἐξαρτᾶται ἀπὸ τὴν διακριτικὴν ἴκανότητα τῆς δληγῆς πειραματικῆς διατάξεως, ἡ δὲ σύγκρισις δύο μεγάλης διαφορᾶς μηκῶν κύματος ὑπόκειται εἰς σοβαρὰ συστηματικὰ σφάλματα τὰ ὅποια εἰς μὲν τὴν συμβατικὴν ὅπτικὴν είναι ἀνεύ σημασίας πρὸ τοῦ σφάλματος ἐκ τῆς διαπλάτυνσεως Doppler, δχι δύως καὶ εἰς τὴν μὴ γραμμικὴν φασματοσκοπίαν,, ἀπηλλαγμένην τῆς διαπλατύνσεως Doppler.

‘Αμεσος μέτρησις τῆς συχνότητος γίνεται εἰς τὴν φασματοσκοπίαν μικροκυμάτων διὰ τῆς ἐτεξωδύνον τεχνικῆς κατὰ τὴν ὅποιαν ἡ ἀγριωστος συχνότης διαβιβάζεται συγχρόνως μὲ γνωστήν, σχεδὸν ἵσην συχνότητα, διὰ καταλήλου στοιχείου μίξεως συχνοτήτων. ’Ἐκ τῶν παραγομένων συγκροτήσεων προσδιορίζεται ἡ σχέσις τῶν δύο συχνοτήτων. ‘Η ἀκρίβεια τῆς μεθόδου αὐτῆς περιορίζεται μόνον ἀπὸ τὴν καθαρότητα τῶν συχνοτήτων καὶ τὴν σταθερότητα τῶν πηγῶν.

Προσπάθεια ἐπεκτάσεως τῆς τεχνικῆς τῆς μίξεως συχνοτήτων εἰς τὴν

όπτικην περιοχήν ήρχισεν άπό τού 1964 είς τὸ MIT ὑπὸ τοῦ Savan καὶ τῶν συνεργατῶν του. Διὰ νὰ ἐπιτευχθῇ αὕτη ἀπαιτοῦνται:

α) Πολλαπλασιασμὸς τῆς συχνότητος τῶν πηγῶν μικροκυμάτων μέχρι — τῆς συχνότητος τοῦ φωτὸς ὥστε νὰ εἰναι δυνατὴ ἡ σύγχρισις διπτικῶν συχνοτήτων μὲ πρότυπον συχνότητα τῶν μικροκυμάτων.

β) Σταθεροποιήσις τῆς συχνότητος τῶν λάζερ ἡ ὅποια εἰναι δυνατὸν νὰ μεταβάλεται σημαντικῶς ἐκ τῆς ἀσταθείας τοῦ διπτικοῦ μήκους* τῆς κοιλότητος - ἀντηχείου λόγῳ μεταβολῆς τῆς θερμοκρασίας, ἡ ἔξωτερικῶν δονήσεων καὶ ἄλλων δευτερευόντων αἰτίων.

Πολλαπλασιασμὸς τῆς συχνότητος τῶν μικροκυμάτων. Ὁ πολλαπλασιασμὸς τῆς συχνότητος στηρίζεται ἐπὶ τῆς ἔξης συμπεριφορᾶς τῶν κυκλωμάτων τὰ ὅποια περιλαμβάνουν μὴ γραμμικὰ στοιχεῖα, π.χ. χρυσταλλοδίοδον. Ἐὰν δύο ἡ περισσότερα σήματα εἰσαχθοῦν συγχρόνως εἰς τὴν δίοδον, τὰ ἔξερχομενα κύματα περιέχουν, πλὴν τῶν συχνοτήτων αἱ ὅποιαι εἰσήχθησαν, προσθέτους συχνότητας ἐκ τῆς μίξεως (ἀθροισμάτων ἡ διαφορῶν) αὐτῶν καὶ τῶν ἀρμονικῶν των. Οὕτως ἡ μῖξις ὑπερύθρου συχνότητος ν ἀκτινοβολίας λάζερ καὶ τῆς θεμελιώδους ἡ ἀρμονικῶν ρυθμιζομένης πηγῆς μικροκυμάτων (χλύστρου) εἰναι δυνατὸν νὰ δώσῃ ἀκτινοβολίαν ρυθμιζομένης συχνότητος μεγαλυτέραν ἡ μικροτέραν τῆς ν:

$$\text{συχνότης μίξεως } n_{\mu} = n \pm nv$$

n_{μ} εἰναι ἀρμονικοὶ τῆς θεμελιώδους συχνότητος ν τοῦ κλύστρου.

Διὰ τὴν περιοχὴν τῶν διπτικῶν συχνοτήτων ἔχρειάζετο νέον στοιχεῖον μίξεως ὑψηλῆς ταχύτητος ἀντιδράσεως, ἵκανὸν ν' ἀνταποκριθῇ εἰς τὴν ροήν ἐναλλασσομένων ρευμάτων διπτικῆς συχνότητος, ἢτοι δίοδον μὲ ἀντίστασιν καὶ χωρητικότητα τόσον μικράς, ὥστε ἡ σταθερὰ χρόνου RC νὰ εἰναι τῆς τάξεως $RC \ll 10^{-14}$ ἕως 10^{-15} . Τοιαύτην δίοδον ἐπέτυχεν ὁ Javan καὶ οἱ συνεργάται του⁴⁹. Ἡ δίοδος Javan δομοίᾳζει πρὸς ἐκείνην ἡ ὅποια ἔχρησιμο-ποιεῖτο εἰς τοὺς πρώτους ραδιοφωνικοὺς δέκτας, τὴν ὀνομασθείσαν «τρίχαν γάτας». Ἀποτελεῖται ἀπὸ τὰ στοιχεῖα: μέταλλον - μονωτὴν - μέταλλον, ἥνωμένα κατὰ σειρὰν ὡς ἔξης: Λεπτότατον σύρμα βολφραμίου, διαμέτρου διάλιγων μμ καὶ μήκους μερικῶν mm, ἀποτελεῖ τὴν κεραίαν. Ἡ αἰχμὴ τοῦ σύρματος, πάχους μικροτέρου τῶν 1000 Å, ἐφάπτεται εἰς ἐν σημεῖον (point-contact diode) μεταλλίνης βάσεως (νικελίου ἡ ἄλλου μετάλλου). Τὸν μο-

* Οπτικὸν μήκος εἰναι τὸ γινόμενον τοῦ μήκους ἐπὶ τὸν δείκτην διαθλάσεως τοῦ περιεχομένου δέριου.

νωτὴν ἀποτελεῖ τὸ φυσικὸν δέείδιον τὸ διόποιον σχηματίζεται ἐπὶ τῆς νικελίνης βάσεως. Ἡ λειτουργία τῆς διόδου Javan στηρίζεται εἰς τὴν κβαντομηχανικὴν ἀρχὴν κατὰ τὴν διόποιαν ἡλεκτρόνιον εἶναι δυνατὸν νὰ διαπεράσῃ φράγμα δυναμικοῦ, σχηματιζόμενον ἀπὸ διηλεκτρικὸν στρῶμα πάχους διάγων Angstrom.

Παράδειγμα μίξεως συχνοτήτων. Ἐκ τῶν πρώτων πειραμάτων μίξεως συχνοτήτων τοῦ Javan, εἶναι ἡ μίξις τῆς ταινίας V τοῦ κλύστρου τῆς περιοχῆς συχνοτήτων 70 GHz μὲ τὴν ἀκτινοβολίαν τοῦ λάζερ HCN, τῆς περιοχῆς τοῦ ἄκρου ὑπερύθρου. Ὁταν τὸ κλύστρον ἐρυθμίζετο εἰς τὴν συχνότητα τῆς διόποιας διόδιος ἀρμονικὸς διέφερεν διάλιγον ἀπὸ τὴν συχνότητα τοῦ λάζερ, παρήγετο σῆμα ραδιοφωνικῆς συχνότητος, 30 MHz. Τὸ πείραμα τοῦτο ἀποτελεῖ παράδειγμα ἐφαρμογῆς τῆς ὑπερετερωδύνου μεθόδου μίξεως συχνοτήτων εἰς τὴν διόπτικὴν περιοχήν: Διὰ τῆς συζεύξεως τῆς συχνότητος τοῦ λάζερ μὲ τὴν κατάλληλον συχνότητα ἀρμονικοῦ τοῦ κλύστρου παρήχθη συχνότης πολὺ μικροτέρα.

Παράδειγμα πολλαπλασιασμοῦ συχνότητος καὶ ἀπολότου μετρήσεως τῆς συχνότητος λάζερ.

Αἱ ἀκτινοβολίαι τῶν λάζερ HCN ($\lambda = 337 \mu\text{m}$) καὶ DCN ($\lambda = 190 \mu\text{m}$) καὶ τῆς ταινίας V τοῦ κλύστρου εἰσάγονται συγχρόνως εἰς τὴν δίοδον Javan. Διὰ ρυθμίσεως τῆς συχνότητος τοῦ κλύστρου εἰς συχνότητα τριπλασίαν τῆς θεμελιώδους παράγεται εἰς τὴν ἔξοδον σῆμα ἔξαιρετικῶς μεγάλης ἐντάσεως. Τοῦτο προκύπτει ὡς ἔξῆς: Ἡ διαφορὰ τῶν συχνοτήτων τοῦ δευτέρου ἀρμονικοῦ τοῦ λάζερ HCN καὶ τοῦ τρίτου ἀρμονικοῦ τοῦ κλύστρου, ἵσοῦται μὲ τὴν συχνότητα τοῦ λάζερ DCN:

$$2\nu_{\text{HCN}} - 3\nu_{\text{V.A.}} = \nu_{\text{DCN}} \quad 13$$

$$\alpha \qquad \beta$$

Τὰ πλάτη τῶν δύο σημάτων τῆς αὐτῆς συχνότητος α καὶ β ἀθροίζονται εἰς τὸ ἔξερχόμενον σῆμα μεγάλου πλάτους. Ἐκ τῆς ἀνωτέρω σχέσεως 13 τῇ βιοηθείᾳ ἐνὸς λάζερ γνωστῆς συχνότητος (τοῦ HCN) τοῦ διόποιου μία συχνότης (ἐδῶ ἡ τοῦ δευτέρου ἀρμονικοῦ) εἶναι συγκρίσιμος μὲ μίαν πρότυπον συχνότητα μικροσημάτων (τοῦ 3ου ἀρμονικοῦ τοῦ κλύστρου), προσδιορίζεται ἡ πολὺ ὑψηλοτέρα συχνότης ἄλλου λάζερ, τοῦ DCN.

Δι’ ὅληνοδιαδόχων τοιούτων σημάτων ἀλυσιδεῖ βαθμιαίου πολλαπλασιασμοῦ συχνοτήτων. Εἰς νεώτερα πειράματα μίξεως ἐπετεύχθη πολλαπλασιασμὸς μέχρι συχνοτήτων τῆς τέξεως THz (10^{12}Hz).

Αἱ μιγνύδειναι συχνότητες εἶναι δυνατὸν νὰ εἶναι περισσότεραι τῶν δύο.

Γενικῶς δταν διὰ κρυσταλλοδίόδου διαβιβάζονται συγχρόνως μὲ τὴν ἀγνωστὸν συχνότητα νχ αἱ γνωσταὶ συχνότητες νε, νm, νν καὶ παράγονται συγκροτήσεις ραδιομετρικῆς συχνότητος νσ, ἵσχει ἡ σχέσις:

$$\nu_x = \nu_e + m\nu_m + n\nu_n \pm \nu_\sigma$$

I, m, n εἶναι αἱ τάξεις τῶν ἀρμονικῶν. Τὸ ἄθροισμα $1 + m + n + 1$ λέγεται τάξις μίξεως⁵⁰.

Παράδειγμα συνθέσεως τριῶν συχνοτήτων (Σύνθεσις τρίτης τάξεως)⁵⁰.

$$\nu_{Ne} = \nu_e + \nu_m + \nu_n$$

$$\text{Είναι: } \nu_e = 147,915 \text{ THz} \quad \nu_m = 48,86 \text{ THz} \quad \nu_n = 0,002355 \text{ THz}$$

$$\text{ἄρα } \nu_{Ne} = 196,780269 \text{ THz.}$$

‘Η αὐτὴ συχνότης, προσδιορισθεῖσα διὰ μίξεως τετάρτης τάξεως μὲ τὴν αὐτὴν γραμμὴν τοῦ Xe, διάφορον γραμμὴν τοῦ CO₂ καὶ συχνότητα τοῦ κλυστρού 0,0511745 THz ἔδωσε συγκροτήσεις συχνότητος 0,001043.

$$\text{ἄρα } \nu_{Ne} = 196,780271 \text{ THz.}$$

‘Η σύγκρισις τῶν ἀποτελεσμάτων τῶν δύο αὐτῶν μετρήσεων δεικνύει τὴν ἀκρίβειαν τῆς μεθόδου. ‘Η ἀκρίβεια ἔξαρταται ἀπὸ τὴν ἀκρίβειαν τῆς προτύπου συχνότητος διὰ τὸν προσδιορισμὸν τῆς νσ, περιορίζεται δὲ ἀπὸ ἐνδεχομένην ἀστάθειαν τῶν λάζερ. Γενικῶς ἡ ἀμεσος μέτρησις συχνοτήτων εἰς τὴν διπτικὴν περιοχὴν παρουσιάζει πολλὰς τεχνικὰς δυσχερείας καὶ ἡ μεθοδος εύρισκεται ἀκόμη ἐν ἔξελιξει⁵¹. ‘Ἐν τούτοις συνετέλεσεν ἡδη εἰς τὴν αὔξησιν τῆς ἀκρίβειας τῶν φασματοσκοπικῶν μετρήσεων ἀπὸ 1 : 10⁸, εἰς 1 : 10¹⁰ ἐνίστε δὲ μέχρις 1 : 10¹².

Σταθεροποίησις τῆς συχνότητος τῶν λάζερ

‘Η σταθεροποίησις τῆς συχνότητος τῆς ἀκτινοβολίας λάζερ ἐπιτυγχάνεται διὰ τοῦ ἀντιστρόφου βυθίσματος Lamb (σελ. 17) ὃς ἔξης: ‘Η δέσμη λάζερ διαβιβάζεται δι’ ἀερίου ὑπὸ μικρὰν πίεσιν, τοῦ ὅποιου μία φασματικὴ γραμμὴ ἔχει τὴν αὐτὴν συχνότητα. Διὰ τὸ λάζερ He-Ne ἐπὶ παραδείγματι ἐχρησιμοποιήθη ἀρχικῶς τὸ Ne ἐντὸς κυψελίδος, τοποθετημένης εἴτε ἐντὸς τῆς κοιλότητος τοῦ λάζερ εἴτε ἐκτὸς αὐτῆς. ‘Οταν ἡ συχνότης ἐκπομπῆς τοῦ λάζερ συμπίπτει ἀκριβῶς μὲ τὴν συχνότητα τῆς γραμμῆς τοῦ Ne, ἡ στενὴ αἰχμὴ τοῦ ἀντιστρόφου βυθίσματος Lamb σχηματίζεται ἀκριβῶς εἰς τὴν κο-

ρυφήν τῆς καμπύλης ἐκπομπῆς τοῦ λάζερ. Ἐάν δμως μεταβληθῇ δὲ πτικὸς δρόμος τῆς κοιλότητος-ἀντηχείου τοῦ λάζερ, αἱ δύο συχνότητες δὲν συμπίπτουν πλέον καὶ ἡ αἰχμὴ Lamb σχηματίζεται εἰς ἄλλο σημεῖον ἐκτὸς τῆς κορυφῆς. Ἡ ἐπαναφορὰ τοῦ λάζερ εἰς τὴν αὐτὴν συχνότητα γίνεται δι’ αὐτομάτου μετατοπίσεως τοῦ ἑνὸς τῶν κατόπτρων τῆς κοιλότητος. Καταλληλότεραι διὰ τὴν σταθεροποίησιν εἰναι γραμμαὶ μοριακῶν φασμάτων. Οὕτω π.χ. ἡ σταθεροποίησις τοῦ λάζερ He-Ne εἰς τὴν γραμμὴν 6328 Å διὰ τοῦ ἀερίου J₂ ἔφθασεν εἰς 10^{-12} ἐπὶ χρόνον 100 sec καὶ διὰ τοῦ CH₄ εἰς τὴν γραμμὴν 3390 Å ἀνῆλθεν εἰς 5×10^{-15} ⁵². Γενικῶς σήμερον θεωρεῖται τῆς τάξεως μεγέθους 10^{-14} , τὸ δὲ πλάτος γραμμῆς λάζερ 0,03 Å περίπου. Ἡ σταθεροποίησις τῆς συχνότητος λάζερ πλὴν τῆς δυνατότητος ἀκριβῶν μετρήσεως συχνοτήτων ἔχει καὶ ἄλλην μεγάλην σημασίαν, τὴν ἔξης: Λάζερ σταθεροποιημένης συχνότητος θὰ καθίστων δυνατὸν τὸν καθορισμὸν ἐνιαίου προτύπου διὰ τὸ μῆκος καὶ τὸν χρόνον, τὰ δόποια σήμερον δρίζονται διὰ δύο διαφόρων στοιχείων, τοῦ ⁸⁶Kr διὰ τὸ μῆκος (μῆκος κύματος τῆς μεταβάσεως 2p₁₀–5d₅₃ $\lambda=$ 6056, 9 Å) καὶ τοῦ στοιχείου ¹³³Cs διὰ τὴν συχνότητα (τοῦ χρόνου), λαμβανομένης ὡς προτύπου τῆς συχνότητος τῆς μεταβάσεως μεταξὺ δύο ὑπερλεπτῶν σταθμῶν μὲ F = 4, m_F = 0 καὶ μὲ F = 3, m_F = 0 τῆς βασικῆς στάθμης τῆς δοπίας ἡ σταθερότης εἰναι ἔξαιρετικῶς ὑψηλὴ μὲ σφάλμα μόλις 2×10^{-14} ἀνά ἡμέραν. Ὡς δευτερεύοντα πρότυπα συχνοτήτων γίνονται δεκτὰ σταθεροποιημένα λάζερ CO₂ εἰς τὴν περιοχὴν 9–12 μμ.

II. ΑΙ ΔΙΑ ΤΟΥ ΛΑΖΕΡ ΠΡΟΟΔΟΙ ΕΙΣ ΤΗΝ ΟΠΤΙΚΗΝ ΦΑΣΜΑΤΟΣΚΟΠΙΑΝ

Μεταξὺ τῶν πρώτων ἐπιτευγμάτων τῆς διὰ λάζερ φασματοσκοπίας εἰναι αἱ βελτιώσεις εἰς τὸν καθορισμὸν τῶν σταθμῶν ἐνεργείας ἀτόμων καὶ μορίων μὲ ἀμεσον συνέπειαν τὴν πολλαπλὴν διαπίστωσιν τῆς μετατοπίσεως Lamb, ὡς ἐπίσης εἰς τὴν μέτρησιν τοῦ πλάτους τῶν φασματικῶν γραμμῶν (τὸ δοπίον εἰς τινας περιπτώσεις ἰσοῦται ἀπλῶς πρὸς τὸ πλάτος τοῦ βιθίσματος Lamb) καὶ τῆς διαρκείας ζωῆς βραχυβίων σταθμῶν ἐνεργείας. Ἄλλ’ αἱ πολλαπλᾶ καὶ ταχύταται πρόδοι τῆς φασματοσκοπίας ἥρχισαν ἀπὸ τοῦ ἔτους 1970 μὲ τὴν ἔκτοτε ραγδαίαν ἔξελιξιν τοῦ λάζερ, ἀρχικῶς διὰ τῆς ἐμφανίσεως τῶν λάζερ βαφῆς, ρυθμιζομένης συχνότητος, διὰ τῶν δοπίων διηγύρνησαν τεραστίως αἱ δυνατότητες ἐρεύνης καὶ ἐν συνεχείᾳ διὰ τῆς ἐπιτευχθείσης σταθεροποιήσεως τῆς ἐκπομπῆς των. Λάζερ βαφῆς παράγουν ἀκτινιβολίαν οἰασδήποτε συχνότητος εἰς συνεχῆ ἐκπομπὴν ἢ εἰς βραχεῖς παλμούς διαρκείας μερικῶν msec μὲ περιοχὴν ρυθμίσεως ἐκατοντάδας Ångstrom. Σταθεροποιημένης συχνότητος λάζερ ἀποτελοῦν εἰς τὴν διπτικὴν περιοχὴν τοῦ ἥλεκτρομαγνητικοῦ φάσματος πηγάς ἥλεκτρομαγνητικῶν κυμάτων μὲ τὴν καθαρότητα καὶ τὴν σταθερότητα τῶν πηγῶν τῶν μικροκυμάτων. Διὰ

σταθεροποιημένων λάζερ έπροσδιορίσθησαν Φυσικαὶ σταθεραὶ μὲ δάκριβειαν πολὺ μεγαλυτέρας τάξεως μεγέθους τῆς προηγουμένης. Μεταξύ αὐτῶν εἶναι ἡ σταθερὰ Rydberg καὶ ἡ ταχύτης τοῦ φωτὸς εἰς τὸ κενόν. Ὡς ἀκριβής δὲ γνῶσις τῶν θεμελιώδων Φυσικῶν σταθερῶν εἶναι ἀπαραίτητος διὰ τὸν ἔλεγχον τῆς συμφωνίας τῶν πειραματικῶν ἐξαγομένων μὲ τὴν θεωρίαν, διότι ἀνέξαρτήτως τῶν ἑκάστοτε βελτιώσεων τῶν πειραματικῶν δεδομένων δι' ἐφαρμογῆς βελτιωμένων πειραματικῶν διατάξεων καὶ δργάνων, τελικῶς ἡ δυνατότης συμφωνίας θεωρίας καὶ πειράματος περιορίζεται ἀπὸ τὴν ἀκριβειαν μὲ τὴν ὅποιαν εἶναι γνωσταὶ αἱ ὑπεισερχόμεναι εἰς τοὺς ὑπολογισμοὺς θεμελιώδεις σταθεραῖ. Ἐπιδιώκεται ἀκόμη ὁ ἔλεγχος τῆς σταθερότητος τῶν παγκοσμίων Φυσικῶν σταθερῶν, διὰ τὰς ὅποιας διετυπώθη ὑπὸ τοῦ Dirac ἡ ἀποφίς τῆς δυνατότητος μεταβολῆς των ὡς ἐκ τῆς διατάξεως τοῦ σύμπαντος. Ὡς διὰ τῆς μὴ γραμμικῆς φασματοσκοπίας ἀκριβῆς ἀνάλυσις τῆς λεπτῆς καὶ ὑπερλεπτῆς δομῆς τῶν φασματικῶν γραμμῶν ἀτόμων καὶ μορίων κατέστησε δυνατὸν τὸν ἀκριβῆ προσδιορισμὸν μεγεθῶν συνδεομένων μὲ τὰ φάσματα, ὁ ὅποιος διὰ τῶν συμβατικῶν μεθόδων ἥτο δυσχερῆς καὶ πολλάκις ἀβέβαιος ἡ καὶ τελείως ἀδύνατος. Ἐκ τῆς ὑπερλεπτῆς δομῆς τῶν ἀτομικῶν φασμάτων προκύπτουν ἀκόμη πληροφορίαι περὶ τῆς δομῆς τοῦ πυρῆνος, ἐνισχυόμεναι ἐκ τῆς συγκρίσεως τῶν σαφῶς διαχωρίζομένων φασμάτων τῶν ἰσοτόπων τοῦ αὐτοῦ στοιχείου. Προσφάτως κατέστη δυνατή ἡ φασματικὴ ἔρευνα λίαν βραχυβίων ραδιενεργῶν ἰσοτόπων, χρόνου ζωῆς τῆς τάξεως τοῦ δευτερολέπτου, ἐνίστε δὲ καὶ τοῦ 0,001 sec.

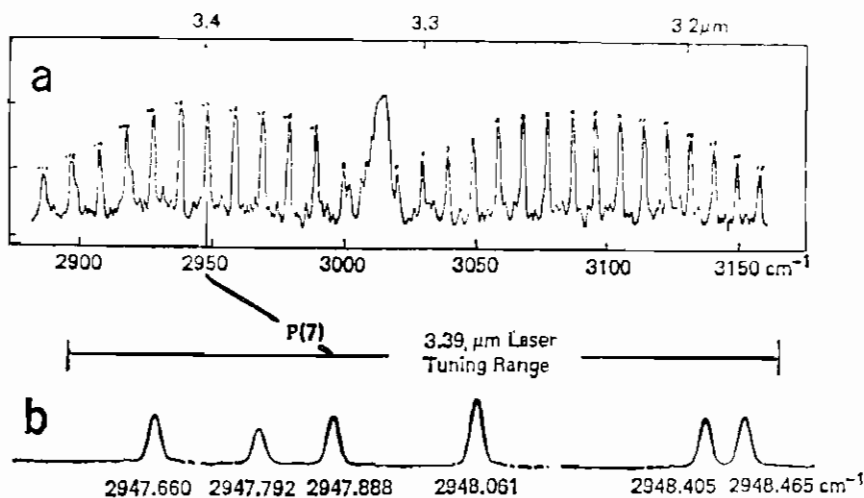
Ἐξαιρετικῶς σημαντικὴ εἶναι ἡ συμβολὴ τῆς μὴ γραμμικῆς φασματοσκοπίας εἰς προβλήματα τῆς θεωρητικῆς Φυσικῆς. Ὡς ἀνεφέρθη εἰς τὴν εἰσαγωγήν, ἡ μετατόπισις Lamb ἀπετέλεσε τὸ κύριον κλίνητρον διὰ τὴν ἐξέλιξιν τῆς κραντολεκτροδυναμικῆς. Μετὰ τὴν πρώτην παρατήρησιν τοῦ Lamb διεπιστώθη καὶ εἰς διλας ὑδρογονικάς στάθμας διαφορὰ ἐνεργείας ἀπὸ τὴν ὑπολογίζομένην διὰ τῆς ἀπλῆς θεωρίας Dirac, ἐσχάτως δὲ καὶ εἰς τὴν βασικὴν στάθμην 1S τοῦ H, διὰ τῆς μεθόδου τῶν δύο φωτονίων (σελ. 38). Εἰς πρόσφατα πειράματα διεπιστώθη ἐπίσης ὁ ὑπὸ τῆς κραντολεκτροδυναμικῆς προβλεπόμενος ἀνατροχισμὸς τοῦ πυρῆνος κατὰ τὴν ἐκπομπὴν ἀκτινοβολίας ὑπὸ τοῦ ἀτόμου.

Σύγχρονα πειράματα ἀπὸ τὰ ὅποια δύμως δὲν προέκυψαν ἀκόμη σαφῆ ἀποτελέσματα, τείνουν εἰς τὴν προσπάθειαν ἐνοποιήσεως ἀσθενῶν καὶ ἡλεκτρομαγνητικῶν ἐπιδράσεων εἰς μίαν κοινὴν θεωρίαν.

Εἰς τὰ ἐπόμενα δίδονται χαρακτηριστικὰ τινὰ παραδείγματα τῆς διὰ λάζερ φασματοσκοπίας.

I. "Ερευναί εἰς ἄτομα καὶ μόρια

Αίσιαν χαρακτηριστικὸν παράδειγμα τῆς τεραστίας βελτιώσεως τῶν φασμάτων διὰ τῶν νέων μεθόδων παρέχει ἡ σύγχρονις τῶν φασμάτων τοῦ μορίου τοῦ μεθανίου (CH_4) τῶν ληθφέντων διὰ τῶν συμβατικῶν μεθόδων, μὲ τὰ ληφθέντα διὰ τῆς μεθόδου τῆς μὴ γραμμικῆς φασματοσκοπίας (σχ. 17).

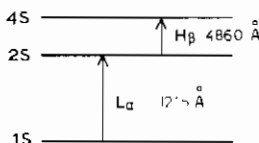


Σχ. 17

'Η καμπύλη α παριστᾶ τὸ φάσμα τῆς ὑπερύθρου ταινίας δονήσεως - περιστροφῆς νῷ, μέσου μ.χ. 3,3 μμ, ἡ ἀριθμοῦ κυμάτων 3000 cm^{-1} περίπου, ληφθὲν πρὸ πενῆντα περίπου ἐτῶν³⁵ (1935). 'Εκάστη γραμμὴ ἔχει πλάτος 24.000 MHz. 'Η διακριτικὴ ἴκανότης εἶναι 10³. 'Η καμπύλη b παριστᾶ τὴν λεπτὴν δομὴν τῆς γραμμῆς P(7) τῆς αὐτῆς ταινίας (ἀριθ. κυμάτων 2950 cm^{-1}), ληφθεῖσαν διὰ φράγματος περιθλάσεως, παρέχοντος τὴν δυνατότητα ὑψηλῆς διακριτικῆς ἴκανότητος εἰς τὴν συμβατικὴν φασματοσκοπίαν. 'Η διακριτικὴ ἴκανότης εἶναι 10⁵. 'Εκάστη γραμμὴ ἔχει μόνον τὸ πλάτος Doppler, 260 MHz. 'Η καμπύλη γ ἐλήφθη διὰ μεθόδου τῆς μὴ γραμμικῆς φασματοσκοπίας καὶ συγκεκριμένως διὰ τοῦ ἀντιστρόφου βυθίσματος Lamb καὶ λάζερ ρυθμιζομένης συχνότητος. Δίδει τὴν λεπτὴν δομὴν τῆς συνιστώσης $\lambda = 2947,888$. 'Εκάστη αἰχμὴ ἔχει πλάτος 400 KHz. 'Υπὸ τὴν ἐπίδρασιν ἡλεκτροστατικοῦ πεδίου ἡ αὐτὴ γραμμὴ ἀναλύεται εἰς συνιστώσας (φαινόμενον Stark) εἰς τὰς δύοιας ἡ διακριτικὴ ἴκανότης εἶναι 10⁷, κατὰ τέσσαρας τάξεις μεγέθους μεγαλυτέρα τῆς εἰς τὴν καμπύλην α .

Δεύτερον έντυπωσιακὸν παράδειγμα ἀποτελοῦν αἱ ἐρυθραὶ γραμμαὶ H_a καὶ D_a τῆς σειρᾶς Balmer τῶν ἀτόμων τοῦ ὑδρογόνου καὶ τοῦ δευτέρου, αἱ ὁποῖαι λαμβανόμεναι διὰ τῶν συμβατικῶν μεθόδων ἔχουν, ὡς ἐκ τοῦ μικροῦ ἀτομικοῦ βάρους τῶν ἀτόμων H καὶ D, πολὺ μεγάλην διαπλάτυνσιν Doppler. Ἀπηλλαγμέναι τῆς διαπλατύνσεως ἐλήφθησαν διὰ τῆς μεθόδου τῆς φασματοσκοπίας κόρου μὲ λάζερ βαφῆς. Ἀνελύθη ἡ λεπτὴ δομὴ τῆς H_a καὶ διεπιστώθη σαφῶς⁵⁴ ἡ μετατόπισις Lamb τῆς στάθμης $n = 2$. Ἐκ τῆς ἀκριβοῦς δὲ μετρήσεως τῶν μηκῶν κύματος τῶν συνυστωσῶν προσδιώρισθη ἡ στάθερὰ Rydberg μὲ ἀκρίβειαν δεκαπλασίαν τῆς προηγουμένης. Σημειώτεον δτὶ τὸ φάσμα τοῦ ἀτομικοῦ ὑδρογόνου ἐμελετάτο κατ' ἔξοχὴν ἐπὶ πολλὰ ἔτη καὶ ἔξακολουθεῖ ἀκόμη νὰ μελετᾶται, διότι ὡς ἐκ τῆς ἀπλότητὸς του καθιστᾶ δυνατὴν τὴν ἀκριβῆ λεπτομερῆ σύγκρισιν τῶν πειραματικῶν δεδομένων μὲ τὴν θεωρίαν. Οὕτως ἀπὸ νεωτέρας ἀκριβεστέρας μετρήσεως τοῦ ὑδρογονικοῦ φάσματος ἔβελτιώθη ἡ ὑπόλογισθεῖσα τιμὴ τῆς στάθερᾶς Rydberg εἰς τὸ τριακονταπλάσιον⁵⁵.

Εἰς πρόσφατον ἔρευναν τῶν αὐτῶν γραμμῶν οἱ Wieman καὶ Hänsch, βελτιώσαντες τὴν τεχνικὴν προηγουμένων ἐργασιῶν των^{4,31} προσδιώρισαν μὲ ἀκρίβειαν τὴν μετατόπισιν Lamb τῆς βασικῆς στάθμης 1S τοῦ H καὶ τοῦ D, ἡ ὁποία, μολονότι συμφώνως πρὸς τὴν θεωρίαν, εἶναι δικταπλασία τῆς μετατοπίσεως τῆς 2S δὲν εἰχεν εὑρεθῆ προηγουμένως ἐκ τῆς μετρήσεως τῶν μ. κύματος αὐτῶν, ὡς ἐκ τῆς μεγάλης διαπλατύνσεως Doppler. Εἰς τὴν ἐργασίαν αὐτὴν εἰς τὴν ὁποίαν ἐφηρμόσθη ἡ διὰ δύο φωτονίων μέθοδος, συγκρίνεται ἡ ἐνέργεια τῆς μεταβάσεως 2S-4S ($H_{\beta} \lambda = 4860 \text{ Å}$) μὲ τὴν ἐνέργειαν τῆς 1S-2S, ἐκ τῆς ὁποίας προκύπτει ἡ γραμμὴ L_a τῆς σειρᾶς Lyman τοῦ H ($\lambda = 1215 \text{ Å}$) σχ. 18.



Σχ. 18

Πρὸς τοῦτο λάζερ βαφῆς ἐκπέμπον εἰς μ.κ. 4860 Å, διήγειρε τὴν H_β. Συγχρόνως δὲ διὰ διπλασιασμοῦ τῆς συχνότητος τοῦ αὐτοῦ λάζερ, διηγέρθη διὰ τῆς ἀπορροφήσεως δύο φωτονίων ἡ L_a. Συμφώνως πρὸς τὴν θεωρίαν τοῦ Bohr ἡ ἐνέργεια τῆς μεταβάσεως 2S-4S θὰ ἔπειπε νὰ ἥτο ἀκριβῶς ἵση πρὸς τὸ 1/4 τῆς ἐνεργείας τῆς 1S-2S, ἐφ' ὅσον ὁ λόγιος τῶν μ.κ. τῶν δύο γραμμῶν εἶναι 4:1.

Έάν τούτο ήτο δρθόν, αί δύο γραμμαὶ θὰ παρετηροῦντο μὲ τὴν αὐτὴν βασικὴν συχνότητα τοῦ λάζερ. Τοῦτο δμως δὲν ἐπαληθεύεται διὰ τοῦ πειράματος καὶ ὁ ἀκριβῆς προσδιορισμὸς τῆς διαφορᾶς τῶν δεδομένων θεωρίας καὶ πειράματος δίδει μὲ ἀκρίβειαν τὴν μετατόπισιν Lamb τῆς στάθμης 1S ἴσην πρὸς $8159,2 \pm 29,0\text{MHz}$, ἡ δὲ θεωρητικὴ τιμὴ τῆς, κατὰ τὴν κβαντογλεκτροδυναμικὴν εἰναι $8149,43 \pm 0,8\text{ MHz}$. Ἡ ἴσοτοπικὴ διαφορὰ τῆς μετατόπισεως Lamb μεταξὺ τῶν ἀτόμων H καὶ D εἰς τὴν αὐτὴν στάθμην εὑρέθη 670992,3, ἀρκετὰ σύμφωνος μὲ τὴν θεωρητικὴν τιμὴν 670991,96. Ἡ ἀκριβῆς μέτρησις αὐτῆς θὰ δώσῃ νέαν ἀκριβεστέραν τιμὴν τοῦ λόγου τῶν μαζῶν τοῦ ἡλεκτρονίου καὶ τοῦ πρωτονίου.

Τὴν πράγματι ἐκπληκτικὴν δυνατότητα τῶν νέων φασματοσκοπικῶν μεθόδων προβάλλει μία ἀκόμη λίαν πρόσφατος ἔργασία (1983) εἰς τὴν ὁποίαν ἐπετεύχθη ἡ διαπίστωσις τῆς μετατοπίσεως Lamb εἰς τὴν στάθμην 1S τοῦ ἀτόμου τοῦ ποζιτρονίου, ἀκόμη ἀπλουστέρου τοῦ ἀτόμου τοῦ ὑδρογόνου. Πρὸς ἐκτίμησιν τῆς ἀξίας τοῦ ἐπιτεύγματος τούτου ἀρκεῖ νὰ ὑπονοηθῇ ὅτι τὰ ἄτομα τοῦ ποζιτροπίου ἐκμηδενίζονται εἰς χρόνον μικρότερον τοῦ 1/7 sec μετὰ τὸν σχηματισμὸν τῶν, ἐκπέμποντα ἀκτινοβολίαν γ.

Απλούστευσις πολυπλόκων φασμάτων

Μέθοδοι τῆς μὴ γραμμικῆς φασματοσκοπίας εἰναι δυνατὸν νὰ ἐπιτύχουν τὴν ἀπλούστευσιν πολυπλόκων ἀτομικῶν καὶ μοριακῶν φασμάτων. Τοῦτο ἔχει ἰδιαιτέραν σημασίαν διὰ τὰ μοριακὰ φάσματα τὰ δποῖα εἰναι λίαν πολύπλοκα, ἀκόμη καὶ εἰς τὰ ἀπλούστερα διατομικὰ μόρια. Π.χ. ἐνῶ τὸ ἄτομον τοῦ Na ἔχει δύο μόνον γραμμὰς εἰς τὴν ὀρατὴν περιοχὴν τοῦ φάσματος, τὸ διατομικὸν μόριόν του ἔχει χιλιάδας γραμμῶν εἰς τὴν αὐτὴν περιοχὴν. Τοῦτο διότι εἰς ἑκάστην ἡλεκτρονικὴν στάθμην ἀντιστοιχοῦν πολλαὶ στάθμαι δονίσεως καὶ περιστροφῆς. Συνεπέᾳ τούτου φασματικαὶ γραμμαὶ προερχόμεναι ἀπὸ διαφόρους στάθμας συμβαίνει νὰ ἔχουν σχεδὸν τὰ αὐτὰ μήκη κύματος. Μία τῶν μεθόδων ἀπλουστεύσεως τοῦ φάσματος εἰναι ἡ ἀκόλουθος⁵⁸.

Διὰ τοῦ ἴσχυροῦ μονοχρωματικοῦ φωτὸς ρυθμιζομένου λάζερ εἰναι δυνατὸν νὰ διεγερθῇ ἀκριβῶς μία μόνον γραμμὴ καὶ ἐπομένως νὰ ἐμπλουτισθῇ εἰς μόρια μία διηγερμένη στάθμη. Ἐκ τῆς διηγερμένης αὐτῆς στάθμης ἐκπέμπονται, ὡς ἐκ τῶν κανόνων ἐπιλογῆς, δλίγαι μόνον γραμμαὶ ἀπὸ ἑκάστην στάθμην δονήσεως, ἐκεῖναι τῶν δποίων ὁ κβαντικὸς ἀριθμὸς περιστροφῆς J τῆς ἀνωτέρας στάθμης διαφέρει ἀπὸ τὸν τῆς κατωτέρας κατὰ +1,0, -1. Δευτέρα νεωτέρα (1976) μέθοδος εἰναι ἡ διὰ τοῦ λάζερ ἐλάττωσις τοῦ πληθυσμοῦ μιᾶς ἐπηλεγείσης κατωτέρας στάθμης διὰ τοῦ κορεσμοῦ μιᾶς ἐπιλε-

γείσης γραμμῆς ἀπορροφήσεως. 'Η ἐλάττωσις αὐτὴ τοῦ πληθυσμοῦ συνεπάγεται τὴν ἴσχυρὰν ἔξασθένησιν τῶν ἐκ τῆς στάθμης αὐτῆς γραμμῶν ἀπορροφήσεως⁵⁹.

Διαχωρισμὸς ἵστοτόπων

'Ο διαχωρισμὸς ἵστοτόπων στοιχείων ὑπῆρξε μεταξὺ τῶν πρώτων ἀποκαλύψεων τῶν δυνατοτήτων τῆς διὰ λάζερ φασματοσκοπίας. Τὰ πρώτα σχετικὰ πειράματα ἔγιναν εἰς τὸ στοιχεῖον Ne^{60} μὲ λάζερ $\text{He}-\text{Ne}$, περιέχον εἴτε μόνον τὸ ἵστοτόπον ${}^{20}\text{Ne}$, εἴτε μῆγμα τῶν ἵστοτόπων ${}^{20}\text{Ne}$ καὶ ${}^{22}\text{Ne}$.

Διηρευνήθη διὰ τῆς μεθόδου TLS ἡ ἔξερχομένη ἐκ τοῦ λάζερ αὐτόματος γραμμὴ τοῦ Ne $2P_4 - 1S_1$ ($\lambda = 0,61 \mu\text{m}$), ἡ δοπία εἶναι συνεζευγμένη μὲ τὴν $2S_2 - 2P_4$ τοῦ λάζερ διὰ τῆς κοινῆς στάθμης $2P_4$. 'Η διαπλάτυνσις Doppler τῆς γραμμῆς αὐτῆς εἶναι 4090 MHz καὶ καλύπτει πλήρως τὴν ἵστοτοπικὴν μετατόπισιν, ἡ δοπία ἐλήφθη δταν ἡ συχνότης τῆς ἐκπομπῆς τοῦ λάζερ ἐρυθμίσθη εἰς τὸ κέντρον τῆς ἐκπομπῆς τοῦ ${}^{20}\text{Ne}$, διὰ μεταβολῆς τῶν διαστάσεων τῆς κοιλότητος - ἀντηχείου. 'Η πρώτη τῶν τριῶν αἰχμῶν προέρχεται ἀπὸ τὸ ἵστοτόπον ${}^{20}\text{Ne}$, αἱ δὲ δύο ἄλλαι ἀπὸ τὸ ἵστοτόπον ${}^{22}\text{Ne}$. Τὸ κέντρον τῆς γραμμῆς τοῦ ${}^{22}\text{Ne}$ κεῖται μεταξὺ τῶν δύο αὐτῶν αἰχμῶν. Οὕτως ἔμετρήθη ἀπ' εὐθείας ἡ ἵστοτοπικὴ μετατόπισις τῶν δύο ἵστοτόπων τοῦ Ne , διὰ τὴν γραμμὴν $0,61 \mu\text{m}$, εύρεθη δὲ ἵση πρὸς $1706 \pm 30 \text{ MHz}$, πολὺ μικροτέρα τῆς διαπλάτυνσεως Doppler. 'Ακόμη μικροτέρα εἶναι ἡ ἵστοτοπικὴ μετατόπισις τῆς γραμμῆς $1,15 \mu\text{m}$, ἵση πρὸς $257 \pm 8 \text{ MHz}$.

*Ἐρευνα τοῦ πυρηνοῦ

'Η ἀνάλυσις τῆς ὑπερλεπτῆς δομῆς τῶν ἀτομικῶν φασμάτων δίδει ἐπίσης πληροφορίας περὶ τῆς πυρηνικῆς δομῆς, ὡς ἐκ τῆς ἀλληλεπιδράσεως φωτιστικῶν ἡλεκτρονίων καὶ πυρῆνος. 'Απὸ πολλῶν ἐτῶν ἥδη μετρήσεις τῆς ὑπερλεπτῆς δομῆς διὰ τῆς ὑψηλῆς διακριτικῆς ἴκανότητος συμβολομετρικῶν μεθόδων τῆς κλασσικῆς φασματοσκοπίας ἔδωσαν ἀξιόπιστα στοιχεῖα περὶ τῶν πυρηνικῶν σπιν καὶ περὶ ἡλεκτρονικῶν καὶ μαγνητικῶν πολυπολικῶν ροπῶν. Τὸ δόπτικὸν φάσμα, προκύπτον ἀπὸ τὰ φωτιστικὰ ἡλεκτρόνια, καθορίζεται κυρίως ἀπὸ τὸ μονοπολικὸν πεδίον Coulomb τοῦ πυρηνικοῦ φορτίου, ἀποφρασσομένου ἐν μέρει ἀπὸ τὰ ἐσωτερικὰ ἡλεκτρόνια τοῦ ἀτόμου, ἡ δὲ ὑπερλεπτὴ δομὴ προκαλεῖται ἀπὸ πεδία ἡλεκτρικῶν καὶ μαγνητικῶν διπόλων (ἢ πολυπόλων) τῶν δόπιων ἡ ἐπίδρασις εἶναι κατὰ 5 ἔως 6 τάξεις μεγέθους ἀσθενεστέρα τῆς τοῦ πεδίου Coulomb. Τῆς αὐτῆς τάξεως διαφο-

ραὶ ἐπιδράσεων παρουσιάζονται μεταξὺ τῶν φασμάτων τῶν ἰσοτόπων τοῦ αὐτοῦ στοιχείου, ὡς ἐκ τῆς διαφόρου κατανομῆς τοῦ πυρηνικοῦ φορτίου. Ἡ διάφορος αὕτη κατανομή, καθὼς καὶ ἡ κίνησις τοῦ πυρῆνος περὶ τὸ κέντρον μάζης τοῦ συστήματος «πυρὴ - ἡλεκτρόνια» προκαλεῖ διαφορὰς τῆς ἐπιδράσεως τοῦ πυρῆνος ἀπὸ ἰσοτόπου εἰς ἰσότοπον τοῦ αὐτοῦ στοιχείου, ἐκδηλουμένας διὰ τῆς σχετικῆς πρὸς ἀλλήλας μετατοπίσεως τῶν ὑπερλεπτῶν σταθμῶν εἰς διάφορα ἰσότοπα. Αἱ μετατοπίσεις δὲ αὐταὶ δίδουν πληροφορίας περὶ τῆς μεταβολῆς τῆς ἀκτῖνος τοῦ πυρῆνος, συναρτήσει τοῦ ἀριθμοῦ τῶν νετρονίων τὰ δόποια περιέχει. Συστηματικαὶ μελέται τῶν φαινομένων αὐτῶν εἰς μακρὰν σειρὰν ἰσοτόπων, δυνάμεναι νὰ δώσουν περισσότερα στοιχεῖα περὶ τῆς δομῆς τοῦ πυρῆνος, χρειάζονται μετρήσεις μὲν ραδιενεργούς πυρήνας. Τοιαῦται μετρήσεις, γινόμεναι ἀμέσως μετὰ τὸν σχηματισμὸν λίαν βραχυβίων ἀσταθῶν ἰσοτόπων, χρόνου ζωῆς τῆς τάξεως τοῦ δευτερολέπτου ἥ καὶ μικροτέρου κατέστησαν τελευταίως δυναταὶ⁶¹. Ἰδιαιτέρως ἐνδιαφέρουσα σειρὰ ἀποτελεσμάτων εἶναι ἡ τῶν ἰσοτόπων τοῦ Hg ἀπὸ A = 181 ἕως A = 206, ἥ δόποια περιλαμβάνει εἴκοσι πέντε ἰσότοπα καὶ ὀκτὼ ἰσομερῆ. Ἐκ τῆς μελέτης τῆς σειρᾶς αὐτῆς εὑρέθη διτὶ ἡ μεταβολὴ τῆς ἀκτῖνος τοῦ πυρηνικοῦ φορτίου ἀκολουθεῖ σχεδὸν εὐθείαν γραμμὴν μεταξὺ τῶν ἰσοτόπων 186 καὶ 201⁶¹. Τοῦτο ἀποδίδεται εἰς κανονικὴν συστολὴν τοῦ πυρηνικοῦ φορτίου, συνοδευομένην ἀπὸ μικρὰν μεταβολὴν τοῦ σχήματός του ἀπὸ σφαιρικοῦ εἰς ἐλαφρῶς πεπλατυσμένον. Οἱ πυρῆνες ἰσοτόπων μικροτέρου ἀτομικοῦ ἀριθμοῦ εἶναι σαφῶς χωρισμένοι εἰς δύο διάδας τελείως διαφόρων σχημάτων. Τοῦτο εἶναι συνέπεια πολυπλόκου ἀντισταθμίσεως τῆς συμμετοχῆς τῆς ἐνεργείας συνδέσεως νετρονίων καὶ ποζιτρονίων εἰς τὴν διλικήν ἐνέργειαν. Εἰς τὸ πρότυπον φλοιῶν τοῦ πυρῆνος τὰ πρωτόνια εἶναι παρὰ τὸ πέρας ἐνὸς φλοιοῦ καὶ τείνουν νὰ προδώσουν σφαιρικὸν σχῆμα εἰς τὸ πυρηνικὸν φορτίον, ενῷ τὰ νετρόνια εἰς τοὺς πολὺ ἐλαφρεῖς (μὲν μειωμένον ἀριθμὸν νετρονίων) πυρήνας εἶναι εἰς τὸ μέσον τοῦ φλοιοῦ καὶ τείνουν νὰ δώσουν εἰς τὸ πυρηνικὸν φορτίον ὠσειδές σχῆμα.

Προσδιορισμὸς θεμελιωδῶν Φυσικῶν σταθερῶν

Ἡ ταχύτης τοῦ φωτὸς εἰς τὸ κενόν ἢτο μέχρι πρό τινος μία ἀπὸ τὰς θεμελιώδεις σταθερὰς τὰς γνωστὰς μὲ τὴν μικροτέραν ἀκρίβειαν. Σήμερον ἐν τούτοις εἶναι ἡ ἀκριβέστερον προσδιορισθεῖσα, χάρις εἰς τὴν δυνατότητα τῆς συγχρόνου μετρήσεως τῆς ἀπολύτου συχνότητος καὶ τοῦ μήκους κύματος τῆς μονοχρωματικῆς ἀκτινοβολίας σταθεροποιημένου λάζερ. Διὰ τῆς νέας μεθόδου μετρεῖται μὲν ἀκρίβειαν ἑκατονταπλασίαν τῆς προηγουμένης⁶².

Η CCDM (Comité Consultatif pour la Définition du Mètre) έχουσα ύπ' δψιν παλαιοτέρας καὶ νεωτέρας μετρήσεις διὰ τῆς νέας μεθόδου συνιστᾶ τὴν τιμὴν $c = 299.792,458 \frac{\text{Km}}{\text{sec}} \pm 0,004$ διὰ τὴν μέτρησιν ἀποστάσεων

ἐκ τῆς μετρήσεως τοῦ χρόνου μεταδόσεως φωτεινοῦ σήματος, διὰ τὴν τιμὴν τῆς c εἰς τύπους θεμελιώδῶν σταθερῶν καὶ διὰ τὴν μετατροπὴν συχνότητος εἰς μῆκη κύματος. Διὰ δὲ τὸν καθορισμὸν τοῦ μέτρου συνιστᾶ τὴν σύγκρισιν αὐτοῦ μὲ τὸ μῆκος κύματος εἰς τὸ κενὸν τῆς ἐκπομπῆς τοῦ λάζερ $^2\text{He} - ^{20}\text{Ne}$ 632991, 399 μμ, σταθεροποιημένου διὰ $^{127}\text{J}_2$.

Νέος ὄρισμὸς τοῦ μέτρου. Ἐκ τῶν προηγουμένων προκύπτει ἡ δυνατότης τῶν ἔξης δύο διαφόρων ὄρισμῶν ἐνὸς νέου προτύπου μήκους.

1. Λαμβάνονται, δπως, προηγουμένως, δυὸς χωριστὰ πρότυπα μήκους καὶ χρόνου, ἀλλὰ μὲ τὸν ἔξης νέον ὄρισμὸν τοῦ μέτρου: 1m ισοῦται μὲ $\frac{1}{\lambda}$ μ. κύματος εἰς τὸ κενὸν τῆς ἀκτινοβολίας ἐνὸς σταθεροποιημένου λάζερ, ἀντὶ τῆς τοῦ ^{96}Kr . Ως κατάλληλοι ἀκτινοβολίαι πρὸς τοῦτο θεωροῦνται αἱ $\nu = 88 \text{ THz}$, $\lambda = 3,39 \mu\text{m}$, ἀνήκουσα εἰς τὸ ὑπέρυθρον τοῦ λάζερ $\text{He} - \text{Ne}$, σταθεροποιημένου διὰ CH_4 , εἴτε ἡ $\nu = 474 \text{ THz}$ $\lambda = 0,633 \mu\text{m}$ τῆς ὀρατῆς περιοχῆς τοῦ αὐτοῦ λάζερ, σταθεροποιημένου διὰ $^{122}\text{J}_2$.

Ἡ γραμμὴ $\lambda = 3,39 \mu\text{m}$ τοῦ λάζερ $\text{He} - \text{Ne}$ λαμβάνεται ὡς ἔξαρτον δευτερεῦον πρότυπον συχνότητος μετὰ τὸ ^{137}Cs .

2. Τὸ μέτρον ὄριζεται ὡς ὥρισμένον κλάσμα τῆς ἀποστάσεως τὴν ὅποιαν διαινύει εἰς τὸ κενὸν τὸ φῶς ἐντὸς ἐνὸς δευτερολέπτου⁶³.

Οὕτω θὰ ἦτο δυνατὸν νὰ χρησιμοποιεῖται μόνον ἐν, ἐνοποιημένον πρότυπον διὰ τὴν συχνότητα, τὸν χρόνον καὶ τὸ μῆκος*. Πρὸς τοῦτο ἐν τούτοις εἶναι ἀνάγκη ἀπλουστεύσεως τῆς μεθόδου μετρήσεως συχνοτήτων, σκοπὸς πρὸς τὸν ὅποιον τείνουν πολλαὶ σύγχρονοι ἔργασίαι.

Ἐλεγχος τῆς σταθερότητος τῶν θεμελιώδῶν Φυσικῶν σταθερῶν

Ἡ ἀκρίβεια τῶν φασματοσκοπικῶν μετρήσεων ἀνοίγει τὸν δρόμον διὰ τὸν ἔλεγχον τῆς ὑπὸ τοῦ Dirac διατυπωθείσης ἀπόψεως καθ' ἣν αἱ θεμελιώδεις Φυσικαὶ σταθεραὶ εἶναι δυνατὸν νὰ μεταβάλλωνται σὺν τῷ χρόνῳ, ὡς ἐκ τῆς διατάσσεως τοῦ σύμπαντος.

Μία τῶν θεμελιώδῶν Φυσικῶν σταθερῶν εἶναι π.χ. ὁ λόγος τῶν μαζῶν m τοῦ ἡλεκτρονίου καὶ M τοῦ πρωτονίου. Ὁ λόγος $\frac{M}{m}$ συνδέεται μὲ τὴν

* Αἱ σημειωθῆ ὅτι ἡ πρώτη σχετικὴ πρότασις ἔγινε ἀπὸ τὸν λόρδον Kelvin (1879).

συχνότητα δονήσεως καὶ περιστροφῆς μορίου διὰ τῆς σχέσεως.

$$\left(\frac{M}{m} \right)^{1/2} = \frac{\nu \text{ δονήσεως}}{\nu \text{ περιστροφῆς}} \text{ τοῦ μορίου,}$$

συμφώνως πρὸς τὴν ὁποῖαν ἡ ἀκριβῆς σύγκρισις τῶν συχνοτήτων δύο λάζερ σταθεροποιημένων μὲν γραμμὰς περιστροφῆς καὶ δονήσεως διὰ μακρὸν χρονικὸν διάστημα εἶναι θεωρητικῶς δυνατὸν νὰ δώσουν πληροφορίας διὰ τὴν σταθερότητα τοῦ λόγου $\frac{M}{m}$. Πρὸς τοῦτο δμῶς χρειάζεται σταθερότης τῆς συχνότητος τῶν λάζερ μὲν ἀκριβειαν μεγαλυτέραν τοῦ 10^{-11} ἐπὶ ἔνα μῆνα καὶ ἡ δυνατότης μετρήσεως τῶν ἀπολύτων συχνοτήτων των μὲ τὴν αὐτὴν ἀκριβειαν.

Ἐλεγχος Φυσικῶν θεωριῶν

‘Ως ἀνεφέρθη εἰς τὴν εἰσαγωγήν, ἡ μέτρησις τῆς μετατοπίσεως Lamb εἰς τὴν βασικὴν στάθμην τοῦ H, ὑπῆρξεν ἐν ἑκ τῶν κυρίων ἐλατηρίων διὰ τὴν ἔξελιξιν τῆς κβαντολεκτροδυναμικῆς. Αἱ δὲ ἐπακολουθήσασαι νεώτεραι μετρήσεις εἰς πολλὰς ὑδρογονικὰς στάθμας ἀπετέλεσαν τὸν ἀκριβέστερον ἔλεγχον τῆς θεωρίας. ‘Η χάρις εἰς τὴν ἔξαιρετικὴν λεπτότητα καὶ τὴν σταθερότητα τῶν διὰ τῶν μεθόδων τῆς μὴ γραμμικῆς διὰ λάζερ φασματοσκοπίας, ἐπιτευχθεῖσα ἀκριβεια τῶν φασματικῶν μετρήσεων, ἐπέτρεψε τὴν παρατήρησιν καὶ τὴν μέτρησιν ρελατιβιστικῶν καὶ κβαντικῶν φαινομένων τὰ ὄποια συνοδεύουν τὴν ἔκπομπὴν ἢ τὴν ἀπορρόφησιν ὅπτικῶν φωτονίων, ὡς πχ. τὸν ἀνατροχισμὸν τοῦ ἔκπεμποντος ἀτόμου⁸⁴ καὶ τὴν, συμφώνως πρὸς τὴν θεωρίαν τῆς σχετικότητος, μετατόπισιν τῶν φασματικῶν γραμμῶν πρὸς τὸ ἐρυθρόν, τὸ δευτέρας τάξεως φαινόμενον Doppler, συνεπείᾳ τῆς ρελατιβιστικῆς ἐλαττώσεως τοῦ χρόνου, ἔξαρτωμένην ἀπὸ τὴν ἀπόλυτον ταχύτητα τοῦ ἀτόμου. Θεωρεῖται ἐπίσης ὅτι θὰ καταστῇ δυνατὴ ἡ μέτρησις τῆς μικρᾶς διαφορᾶς ἐνεργείας μεταξὺ τῶν αὐτῶν σταθμῶν δύο μορίων τῶν ὄποιων τὸ ἐν εἶναι κατοπτρικὴ εἰκὼν τοῦ ἄλλου, διαφορᾶς διφειλομένης εἰς ἀσθενεῖς ἀλληλεπιδράσεις μεταξὺ ἡλεκτρονίων καὶ νουκλεονίων τοῦ μορίου⁸⁵.

Πειράματα μὲ λάζερ εἰς ἀτομα εἶναι ἐπίσης δυνατὸν νὰ δώσουν σημαντικὰς πληροφορίας ἐπὶ ἐνὸς τῶν σοβαρωτέρων προβλημάτων τῆς Φυσικῆς τῶν στοιχειωδῶν σωματίων, τοῦ τῆς ἐνοποιήσεως ἀσθενῶν καὶ ἡλεκτρομαγνητικῶν δυνάμεων εἰς μίαν κοινὴν θεωρίαν⁸⁶.

ΒΙΒΛΙΟΓΡΑΦΙΑ

Γενική:

- Letokhov - Chebotayev: Non linear laser spectroscopy
Εκδ. Springer. New York 1977.
- Fundamental and Applied laser Physics. (Εκδ. John Wiley και Sons)
(πρακτικά συνεδρίου τοῦ 1971)
- Laser spectroscopy III (σειρά Optical Sciences. Springer 1977
(πρακτικά τοῦ τρίτου διεθνούς συνεδρίου (1977) TICOLS:
Third International Conference on Laser Spectroscopy (1977)

Ελόνη:

1. P.B. Stoicheff	Laser spectroscopy III	σελ.	1				
2. W.E. Lamb - B.C. Rutherford		Phys. Rev.	72	241	1947		
»	»	»	79	549	1950		
»	»	»	81	822	1951		
»	»	»	85	259	1952		
3. T.W. Hänsch κ.α.		Nature Phy. Sci.	235	63	1972		
»	»	Phys. Sev. Lett.	32	1366	1974		
»	»	»	34	307	1975		
5. S.A Lee κ.α.		»	35	1262	1975		
6. T.W. Hänsch		Phys. today	30	34	1977		
7. L.N. Dobretzov κ.α.		Naturwiss	16	656	1928		
8. K.W. Meissner κ.α.		Ann. Physik	28	657	1937		
9. S. Ezekiel - R. Weiss		Phys. Rev. Lett.	20	91	1968		
10. Mac Farlan - Bennet - Lamb		Appl. Phys. Lett.	2	189	1963		
11. Sjoke - Javan		Phys. Rev. Lett.	10	521	1963		
12. W.E. Lamb		Phys. Rev. A	134	1429-1450	1964		
13. J. Brodar - R. Wetter		J. Physique	3	250	1967		
14. P.H. Lee - M.L. Skolnick		Appl. Phys. Lett.	10	303	(1967)		
15. Bordé κ.α.		C.R. Acad. Sci Paris	271371	(1970)			
16. T.W. Hansch κ.α.		Plys.Rev.Lett.	27	707	(1971)		
17. Hall Bordé κ.α.		»	»	37	1339	(1976)	
18. W.R. Bennet - V. P. Chebotayev		Non linear Laser specteos:	σελ.	218			
19. M. Goeppert - Mayer		(Springer Series in Opt. Scier. 4	187	(1977)			
20. P.A. Dirac		Ann. d. Physik	9	273	(1931)		
21. W. Kaiser C.G.B. Garret		The principles of Quanteem Mecha-					
22. F. Biraben κ.α.		Mechanics α Εκδ. 1930 β Εκδ. 1958					
23. T.W. Hänsch κ.α.		Clarentow Press Onford					
24. M.D. Levenson κ.α.		Plus. Rev. Lett.	7	229	(1961)		
25. K.K. Bischel κ.α.		»	»	32	643	(1974)	
26. B. Cagnac κ.α.		Optic. Comm.	11	50	(1974)		
27. F. Biraben, Cagnac, Rydberg		Phys. Rev. Lett.	32	645	(1974)		
28. N. Bloemberger κ.α.		»	»	34	300	(1975)	
29. K.C. Harvey κ.α.		J. Phys. (Paris)	34	56	(1973)		
		Phys. Lett.	49A	71	(1974)		
		Phys. Rev. Lett.	32	867	(1974)		
		»	»	34	1073	(1975)	

30. F. Biraben B. Cagnac C.R. Acad. Sci. Paris 279 Ser. B, 235 (1974)
 31. C. Wieman, Hänsch Springer Serin KOp Phy 7 39 (1977)
 32. S.A. Lee *x.x.* Phys. Rev. Lett. 34 307 (1975)
 33. R. Cordover, Javan *x.x.* " " " 18 730 (1967)
 34. T.W. Ducas Phys. Rev. A5 1036 (1972)
 35. V.S. Letokhov Phys. to day 30 23 (1977)
 36. Yuan T. Lee and Y Ron Shen " " " 33 52 (1980)
 37. R.V. Abartzumian *x.x.* Spr Ser. in Optic. Sc. 7 76 (1977)
 38. N. Bloemberger, Tablonoviteb " " " 86 (1977)
 39. E.K. Graut " " " 94 (1977)
 40. C.D. Cantrell " " " 109 (1977)
 41. W.E. Lamb " " " 116 (1977)
 42. Y.V. Baklanow *x.x.* Appl. Phys. 9 171 (1976) *xai* 11, 201
 43. N.F. Ramsey Molecular Beams Charanton Press Oxford
 44. M.M. Salour Bull. Am. Phys. Soc. 21 1245 (1976)
 45. " " Phys. Rev. Lett. 38 757 (1977)
 46. " " Springer Series in Op. Sci 7 135 (1977)
 47. J.C. Bergquist-Lee-Hall " " " " 142 (1977)
 48. T.W. Hänsch " " " " 149 (1977)
 49. A. Javan Fundamental and Applied Laser Physics (1971)
 (*πρακτικά τοῦ πρώτου συνεδρίου*) Ichn Wiley Sons
 50. K.M. Evenson *x.x.* Springer Ser in Opt. 7 64 (1977)
 51. Kenneth Bavird Phys. today 36 52 1983
 52. K.M. Evenson *x.x.* Spr. Ser. in Opt. 7 56 (1977)
 53. R.G. Brewer Fundam. and Appl. Las. Phys. 424 *xai*
 B.P. Stoicheff Spr. Ser. in Opt. Sci 7 3 (1977)
 54. A. Schawlow Phys. today 29 46 (1982)
 55. J. Goldsmith *x.x.* Phys. Rev. Lett. 41 1525 (1978)
 56. C. Wiemann-T.W. Hänsch Phys. Rev. A 22 1 (1980)
 57. S. Chu-A. Mills Phys. Rev. Lett. 48 1333 (1982)
 58. M.H Kaminsky *x.x.* " " " 34 683 (1976)
 59. R. Teets *x.x.* " " " 37 683 (1976)
 60. R.H. Cordover *x.x.* " " " 18 730 (1967)
 61. H.A. Schuessler Phys. today 34 48 (1981)
 62. L. Hocker, A. Javan *x.x.* Phys. Lett. 29A 321 (1969)
 63. K.M. Evenson *x.x.* Spr. Ser. in Op. Sci. 7 56 (*πιναξ εἰς σελ. 62*)
 64. C. Wieman, T.W. Hänsch " " " " 59
 65. V.S. Letokhov Phys. Lett. A53 275 (1975)
 66. P.G.H. Sanclars Spr. Ser. in Op. Sc. 7 21 (1977)